



**Comune di MOTTOLA**  
 prov. di Taranto  
 REGIONE PUGLIA

**Impianto Agrovoltaico "Semeraro"**  
 della potenza di 26,226 MW in DC  
**PROGETTO DEFINITIVO**

COMMITTENTE:

**Lapis Srl**

**LAPIS S.R.L.**  
 Via Giovanni Battista Soresina, 2 - 20144 Milano (MI)  
 C.F. e P.IVA: 12884650966  
 PEC: lapis\_srl@legalmail.it

PROGETTAZIONE:



TÈKNE srl  
 Via Vincenzo Gioberti, 11 - 76123 ANDRIA  
 Tel +39 0883 553714 - 552841 - Fax +39 0883 552915  
 www.gruppotekne.it e-mail: contatti@gruppotekne.it



PROGETTISTA:

Dott. Ing. Renato Pertuso  
 (Direttore Tecnico)

LEGALE RAPPRESENTANTE:

dott. Renato Mansi

CONSULENTE:

Atech S.r.l.  
 Dott. Ing. Orazio Tricarico  
 Direttore Tecnico - Amministratore Unico



**PD**

PROGETTO DEFINITIVO

**RELAZIONE DI COMPATIBILITA'  
 IDROLOGICA ED IDRAULICA**

Tavola: **RE02.1**

Filename:  
 TKA895-RE02.1-Relazione idrologica ed idraulica.doc

Data 1°emissione: <b>Giugno 2023</b>	Redatto: <i>Atech S.r.l.</i>	Verificato: <i>G.PERTOSO</i>	Approvato: <i>R.PERTUSO</i>	Scala:	Protocollo Tekne:
n° revisione					
1					
2					
3					
4					

TKA895

## INDICE

1. PREMESSA.....	2
2. AREE SOGGETTE A TUTELA DA PARTE DELL'AUTORITA' DI BACINO DELL'APPENNINO MERIDIONALE – SEDE PUGLIA .....	4
3. INQUADRAMENTO DEI BACINI IDROGRAFICI .....	14
4.1 Inquadramento geologico .....	18
4.2 Uso del suolo .....	19
4. ANALISI REGIONALE DELLE PIOGGE IN PUGLIA.....	20
4.1 Curve di possibilità climatica .....	25
5. ANALISI IDRAULICA.....	29
5.1 Valutazione portate di piena .....	29
5.2 Considerazioni finali sulla portata di piena .....	39
6. MODELLAZIONE IDRAULICA .....	40
7. CONCLUSIONI.....	46
ALLEGATI.....	47



## 1. PREMESSA

La presente **Relazione di Compatibilità Idrologica ed Idraulica** è stata redatta nell'ambito di un progetto per **la realizzazione di un impianto da fonti rinnovabili e relativa Stazione di Utenza per elevazione AT/MT e raccolta AT** da collegare alla limitrofa esistente Stazione Terna, da ubicare nel territorio del comune di **Mottola (TA)** e di **Castellaneta (TA)**.

Il progetto dell'impianto agrovoltaico "SEMERARO" nei comuni di Mottola (TA) e Castellaneta (TA) ha come obiettivo la realizzazione di una centrale fotovoltaica combinata alla coltivazione di grano duro, uliveto, foraggere e strisce di impollinazione costituite da rosmarino, salvia e timo. Le strutture fotovoltaiche produrranno energia elettrica per mezzo dell'installazione di un generatore fotovoltaico per complessivi 26,226 MWp, come somma delle potenze in condizioni standard dei moduli fotovoltaici.

Oltre alla centrale fotovoltaica sono previste in progetto anche tutte le opere di connessione alla RTN ovvero:

- Il cavidotto di connessione in Media Tensione tra l'impianto agrovoltaico e lo stallo di utenza inserito nella stazione di elevazione MT/AT. Il cavidotto attraverserà i Comuni di Mottola (TA) e di Castellaneta (TA);

- la stazione di elevazione MT/AT con il breve raccordo di connessione alla esistente stazione di Terna nel Comune di Castellaneta (TA).

Il progetto in esame è proposto dalla società:

**LAPIS S.R.L.,**

con sede legale a Milano (MI), Via Giovanni Battista Soresina, 2 - CAP 20144

Indirizzo PEC: lapis\_srl@legalmail.it

Numero REA: MI-2690842

Codice fiscale / P.IVA: 12884650966

# Lapis s.r.l.



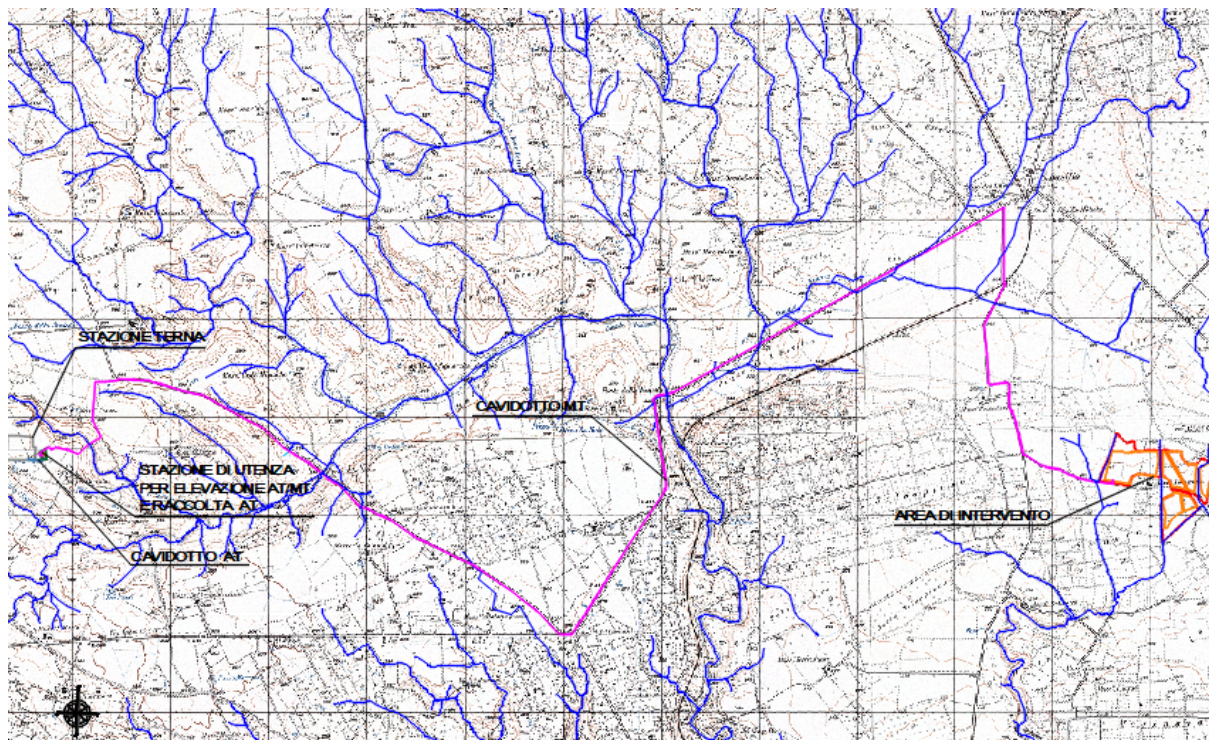


Figura 1 - Stralcio Corografia IGM 1:25.000

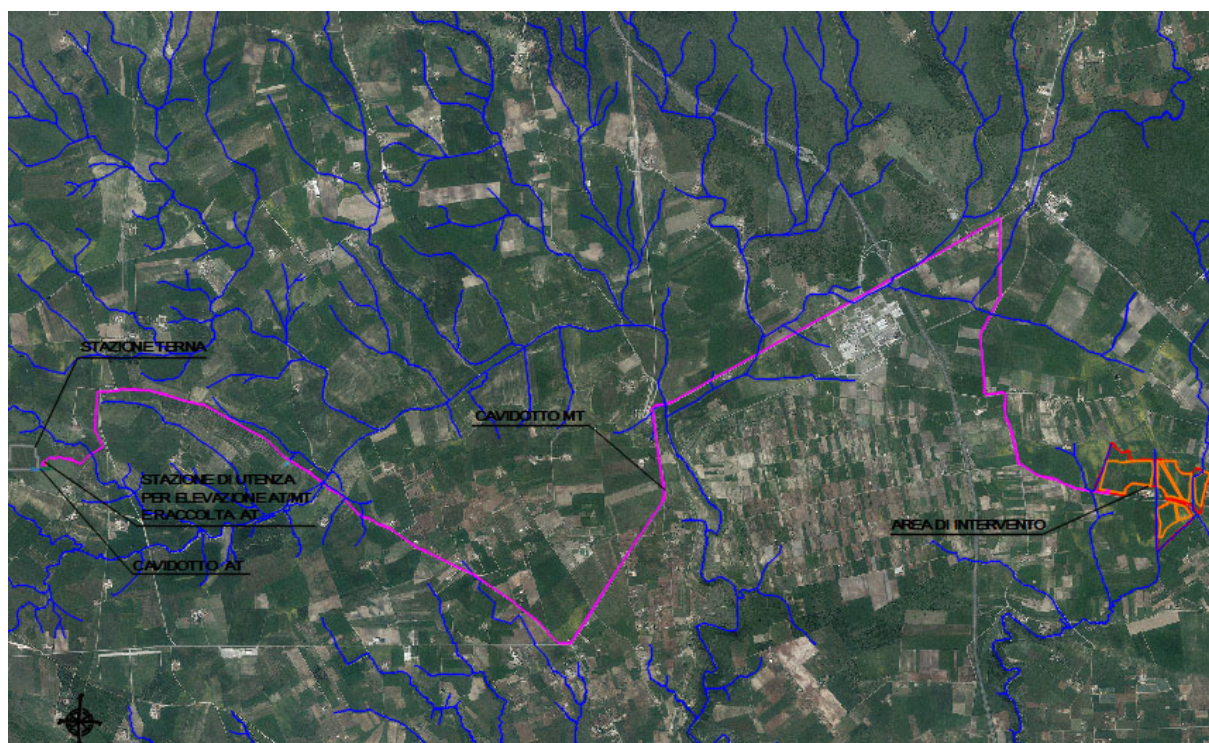
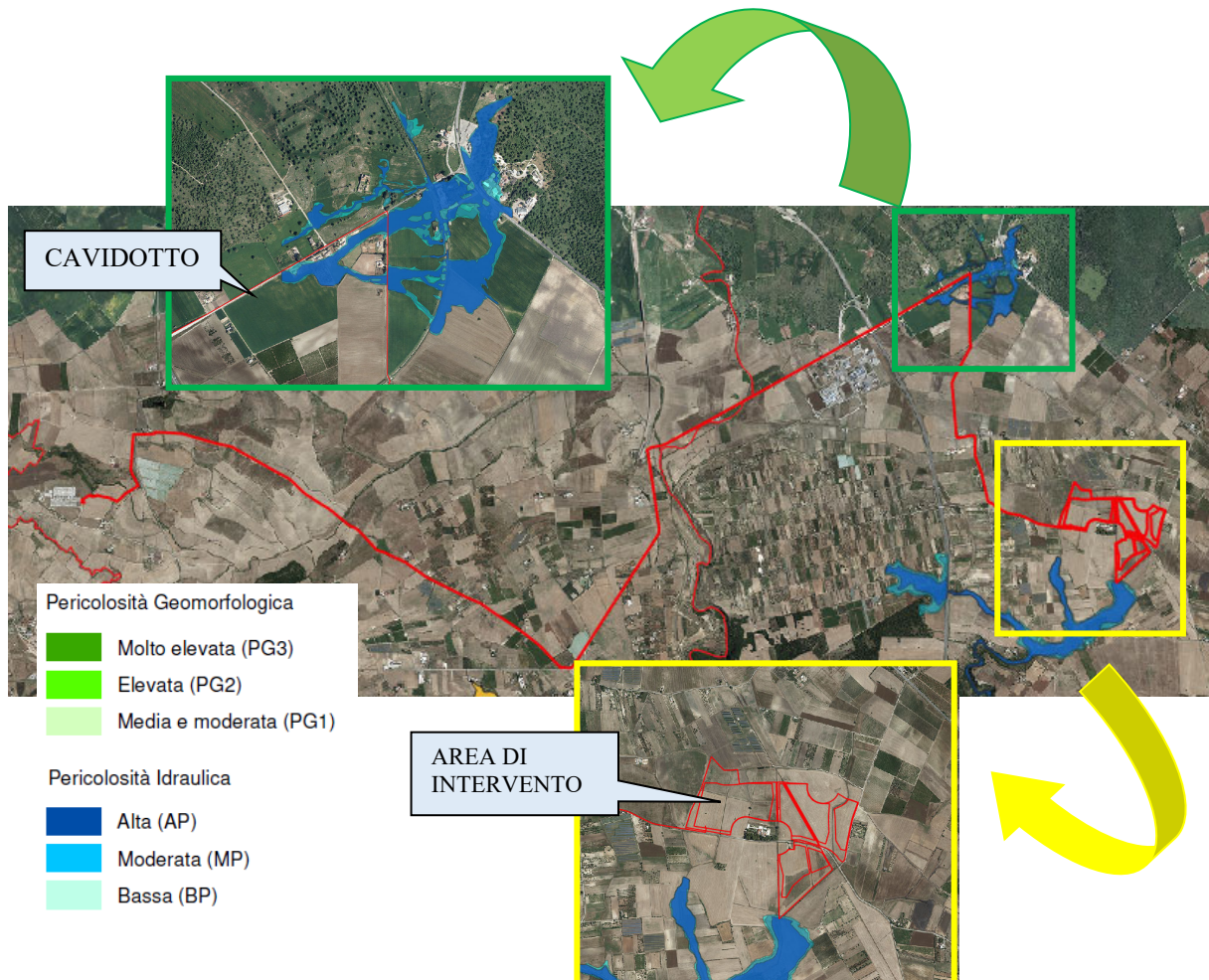


Figura 2 - Stralcio Ortofoto

## 2. AREE SOGGETTE A TUTELA DA PARTE DELL'AUTORITA' DI BACINO DELL'APPENNINO MERIDIONALE – SEDE PUGLIA

Poiché l'area di intervento ricade su un suolo di competenza dell'Autorità di Bacino Distrettuale dell'Appennino Meridionale – Sede Puglia (di seguito semplicemente denominata AdBP), in relazione alle condizioni idrauliche, alla tutela dell'ambiente ed alla prevenzione da possibili effetti dannosi prodotti dall'intervento antropico proposto, sono prese in esame le Norme Tecniche di Attuazione del Piano di Bacino Stralcio Assetto Idrogeologico (PAI) redatte dalla stessa Autorità.

Conformemente al D.P.C.M. del 29 Settembre 1998, l'Autorità di Bacino ha individuato i tempi di ritorno  $T_r$  in 30, 200 e 500 anni per l'individuazione, rispettivamente, delle aree soggette ad Alta Probabilità (A.P.), Media Probabilità (M.P.) e Bassa Probabilità (B.P.) di esondazione.



**Figura 3 – Sovrapposizione impianto su ortofoto con aree a pericolosità idraulica e geomorfologica - particolari: area di impianto lambita dalla perimetrazione PAI – tratto cavidotto su area perimetrata PAI**

Dall'analisi della Carta delle Aree soggette a Rischio Idrogeologico del PAI, sia l'area di impianto dei pannelli fotovoltaici che l'area della Stazione di Utenza non sono perimetrata per pericolosità idraulica o geomorfologica, solo il tracciato del cavidotto per un breve tratto interesserà un'area già perimetrata a pericolosità idraulica alta, media e bassa; il passaggio

del cavidotto interrato avverrà su strada esistente (conforme art 7 co. 1 d) delle NTA del PAI).

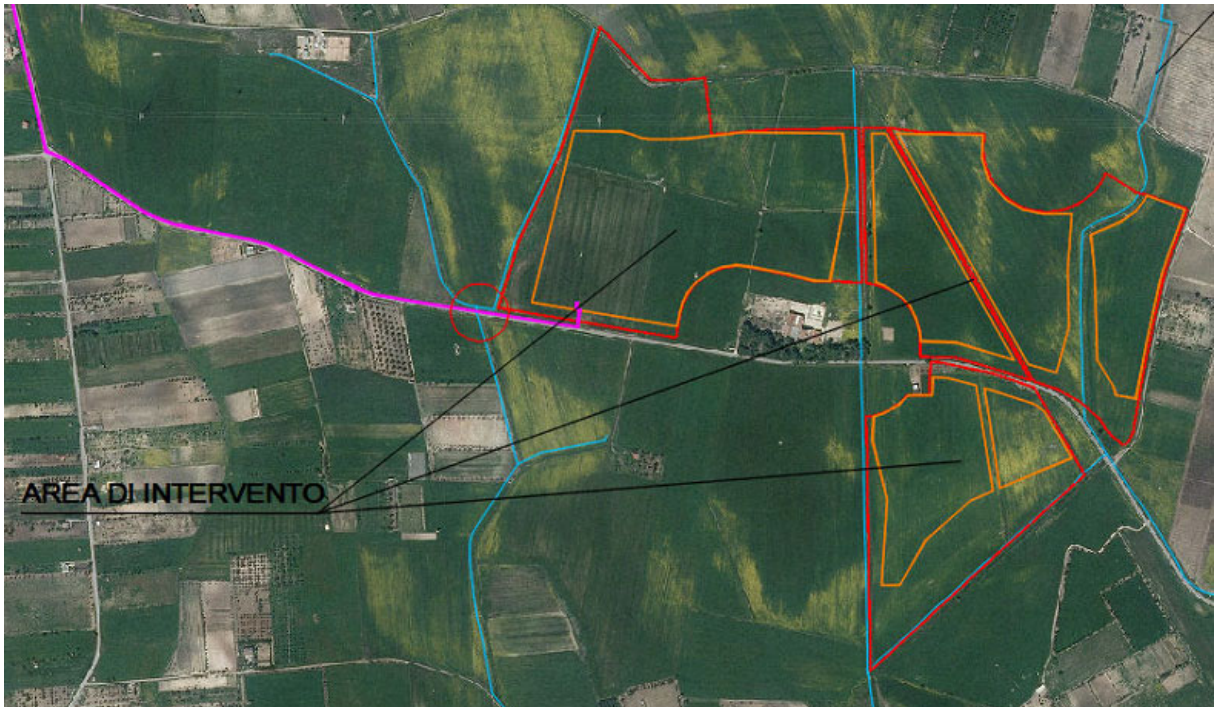


Figura 4 - Stralcio su Ortofoto dell'area di impianto (in arancione) con reticolo idrografico

Tuttavia, come è possibile desumere dall'immagine precedente, che riporta uno stralcio della carta idrogeomorfologica redatta dall'AdB Puglia, l'area di installazione d'impianto (in arancio la recinzione) è interessata dalla presenza del reticolo ufficiale.

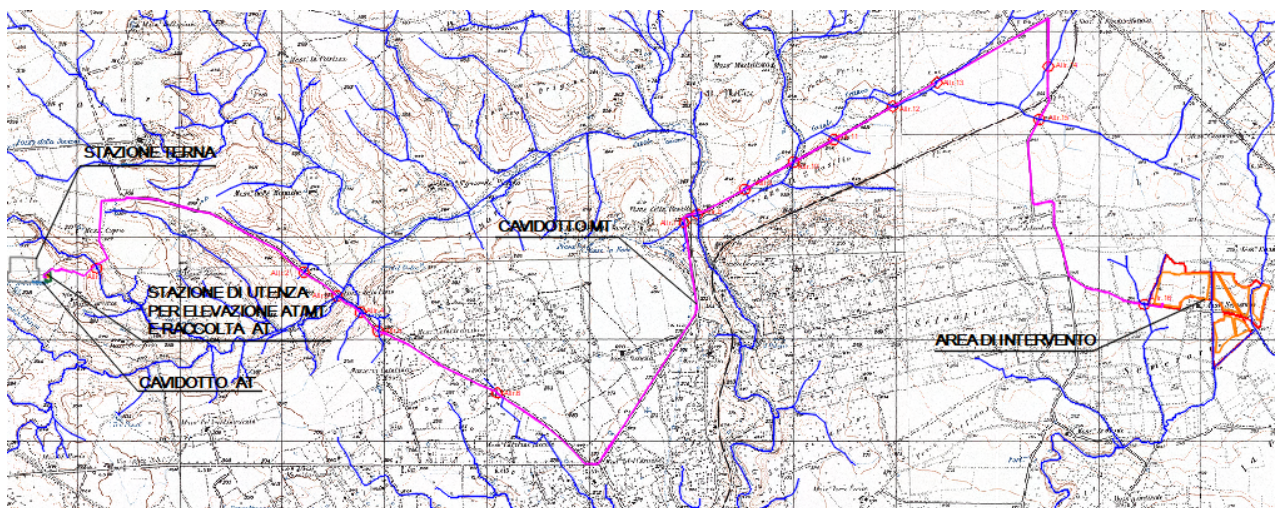


Figura 5 – Stralcio IGM 1:25.000 con individuazione interferenze

Per ciò che concerne l'area della Stazione di Utanza a farsi non si riscontra la presenza di reticoli superficiali interferenti.



**Figura 6 - Stralcio su Ortofoto dell'area della stazione di utanza con il reticolo idrografico**

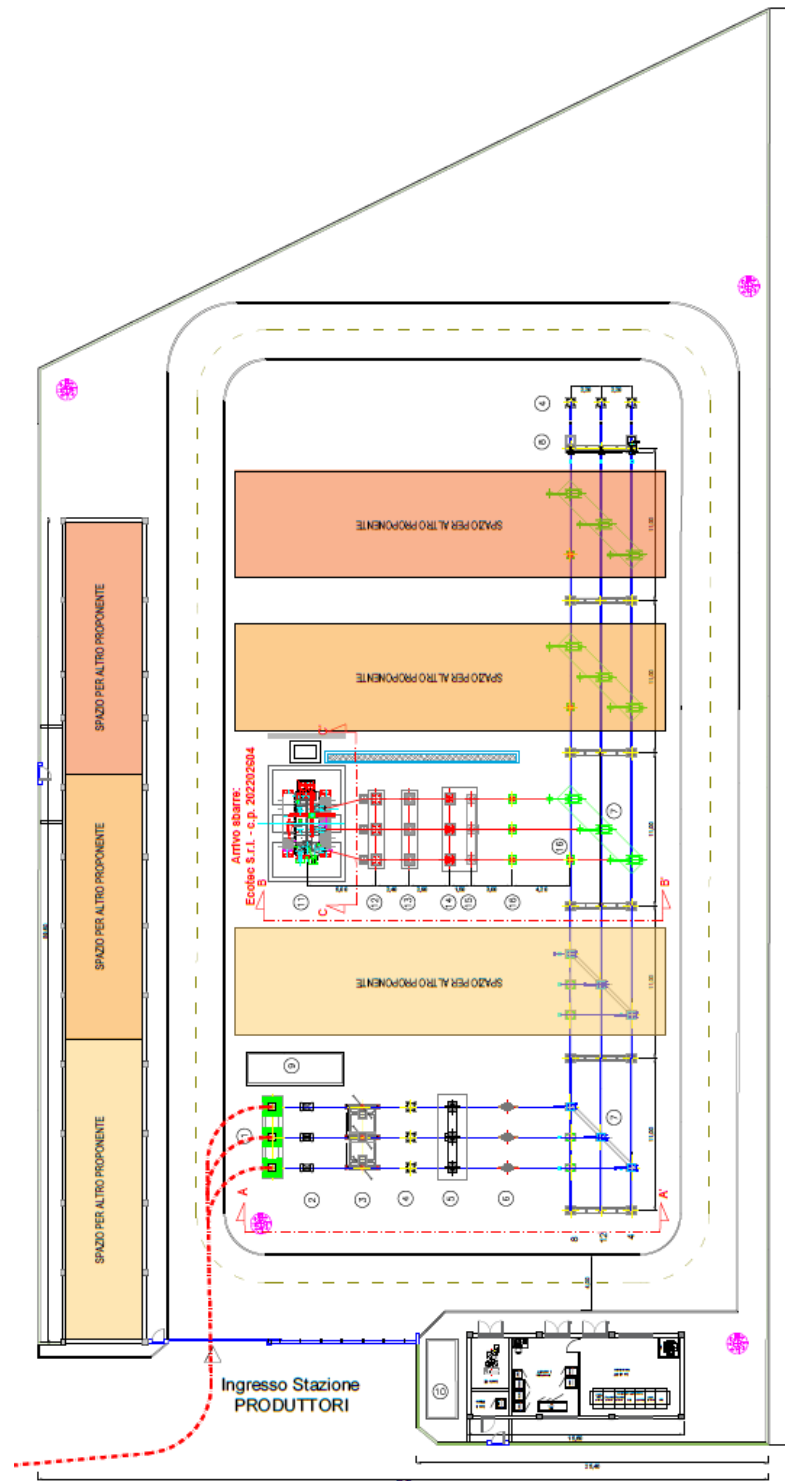


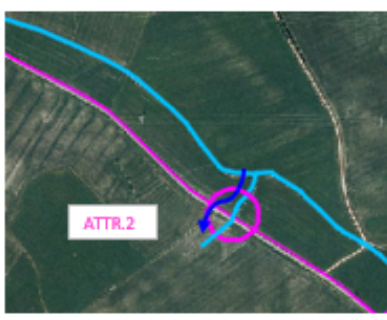
Figura 7 - Planimetria della Stazione di Utente per elevazione AT/MT e raccolta AT

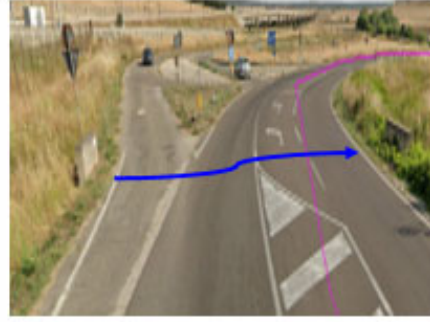
Per ciò che concerne il cavidotto di collegamento, analizzando le intersezioni con il reticolo della cartografia ufficiale, sono stati individuati **n.16 attraversamenti** su strade esistenti (segnati in

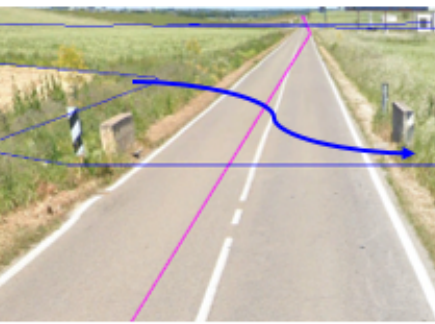
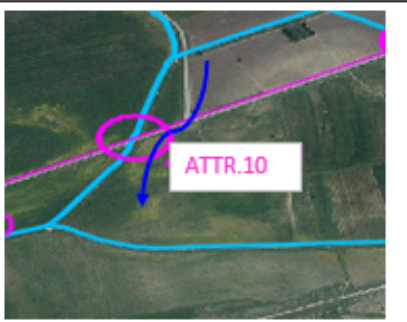
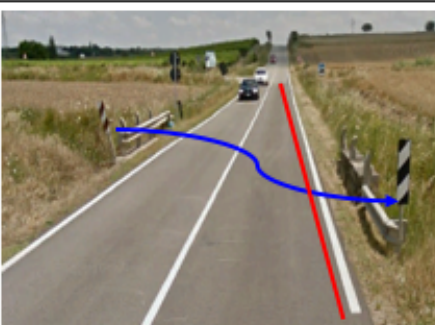
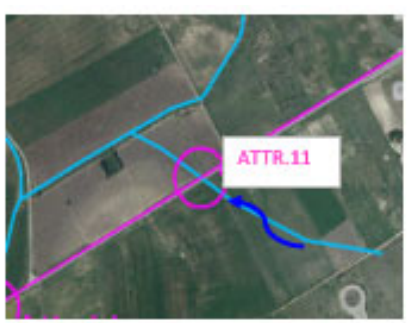
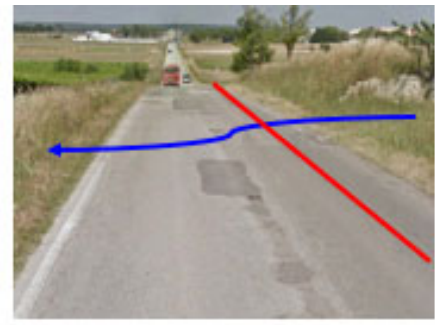
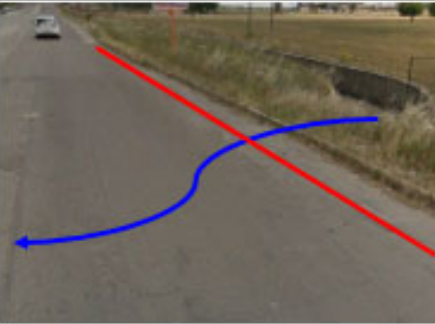
rosso nell'immagine precedente), che saranno risolti con tecnica di Trivellazione Orizzontale Controllata (TOC).

In questo modo, l'utilizzo della tecnica della TOC garantisce che, nella sezione di attraversamento:

- non venga alterata la conformazione fisica e geologica del canale;
- non venga ristretta la sezione libera del canale;
- non venga alterato in alcun modo il naturale deflusso delle acque, anche in regime di piena.

N°	NOME	PLANIMETRIA	FOTO	TIPOLOGIA ATTRAY.
1	Attraversamento o corso d'acqua secondario con tombino			TOC
2	Attraversamento o corso d'acqua secondario con tombino			TOC
3	Doppio attraversamento (corso d'acqua secondario e canale affiancati) con tombino			TOC

4	Attraversament o corso d'acqua secondario con tombino			TOC
5	Attraversament o corso d'acqua secondario con tombino			TOC
6	Attraversament o corso d'acqua secondario in zona di seminativi semplici in aree non irrigue			TOC
7	Attraversament o corso d'acqua secondario con tombino			TOC
8	Attraversament o corso d'acqua principale con ponticello			TOC

9	Attraversamento o corso d'acqua secondario con tombino			TOC
10	Attraversamento o corso d'acqua secondario con tombino			TOC
11	Attraversamento a carra d'acqua secondaria in zona di seminativi semplici in aree non irrigue			TOC
12	Attraversamento a carra d'acqua secondaria con tombino			TOC
13	Attraversamento a carra d'acqua secondaria con ponte			TOC

<p>14</p> <p>Attraversamento a carra d'acqua secondaria in zona di seminativi semplici in aree non irrigue</p>			<p>TOC</p>
<p>15</p> <p>Attraversamento a carra d'acqua secondaria con tombina</p>			<p>TOC</p>
<p>16</p> <p>Attraversamento a carra d'acqua secondaria con tombina</p>			<p>TOC</p>

Figura 8 – Individuazione interferenze cavidotto con reticolo idrogeomorfologico

La tecnica della **trivellazione orizzontale controllata** (TOC o Directional Drilling) verrà effettuata secondo i seguenti step:

- 1) scavo per l'esecuzione delle buche di partenza e arrivo necessarie,
- 2) esecuzione del foro pilota,
- 3) alesatura del foro fino al raggiungimento del diametro utile alla posa,
- 4) fornitura e posa dei tubi previsti ed esecuzione giunzione dei tubi,
- 5) riempimento della parte eccedente dei fori con sabbia,
- 6) posa di filo di tiro,
- 7) posa delle linee elettriche ed in fibra ottica,
- 8) esecuzione delle necessarie giunzioni di raccordo alle linee cavi interrati, rinterro e ripristino delle buche.

Il cavidotto verrà posato ad una profondità pari ad almeno 1,5 m rispetto alla quota del fondo

dell'alveo. L'intervento verrà eseguito rigorosamente in sicurezza idraulica al fine di avere il cavidotto in posizione di tutta sicurezza rispetto alle possibili ondate di piena.

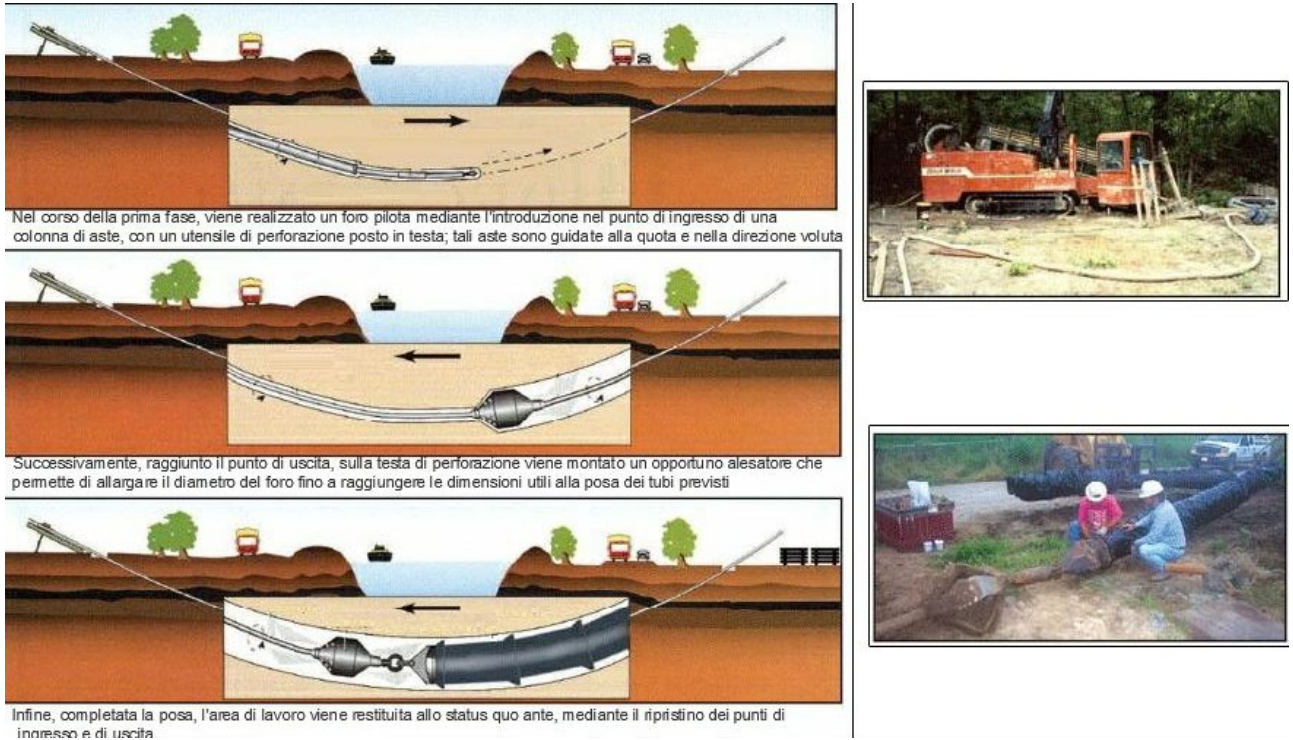


Figura 9 – Fasi di lavorazione tecnica TOC

Tuttavia, gli impianti di produzione di energia elettrica da fonti rinnovabili, sono **opere di pubblica utilità** ai sensi del Decreto Legislativo 29 Dicembre 2003, n.387 (Attuazione della direttiva 2001/77/CE relativa alla promozione dell'energia elettrica da fonti energetiche rinnovabili nel mercato interno dell'elettricità), e pertanto sono consentite anche in aree classificate come Alvei fluviali in modellamento attivo e Aree golenali, **ai sensi dell'art. 6 e 10 delle NTA del PAI**, purché coerenti con gli obiettivi del Piano stesso.

Pertanto tutti questi gli attraversamenti siti a meno di 150 metri sono assoggettati agli artt. 6 e 10 delle N.T.A. del PAI, soggetti all'acquisizione del parere dall'Autorità di Bacino della Puglia.

Nello specifico, l'opera **in oggetto risulta essere non delocalizzabile** e sostanzialmente si configura come *"...l'ampliamento e la ristrutturazione delle infrastrutture pubbliche o di interesse pubblico esistenti, comprensive dei relativi manufatti di servizio, riferite a servizi essenziali e non delocalizzabili, nonché la realizzazione di nuove infrastrutture pubbliche e di interesse pubblico, comprensive dei relativi manufatti di servizio, parimenti essenziali e non diversamente localizzabili, purché risultino coerenti con gli obiettivi del presente Piano e con la pianificazione degli interventi di mitigazione. Il progetto preliminare di nuovi interventi infrastrutturali, che deve contenere tutti gli elementi atti a dimostrare il possesso delle caratteristiche sopra indicate anche nelle diverse soluzioni*

presentate, è sottoposto al parere vincolante dell'Autorità di Bacino" rientrando pertanto tra le opere assentibili ai sensi dell'**articolo 6** "Alveo fluviale in modellamento attivo ed aree golenali" **comma 4 delle NTA del PAI**.

Pertanto, al **comma 7**, si richiede "in funzione della valutazione del rischio ad essi associato, la redazione di uno studio di compatibilità idrologica ed idraulica che ne analizzi compiutamente gli effetti sul regime idraulico a monte e a valle dell'area interessata." ed al **comma 8** si definisce che "Quando il reticolo idrografico e l'alveo in modellamento attivo e le aree golenali non sono arealmente individuate nella cartografia in allegato e le condizioni morfologiche non ne consentano la loro individuazione, le norme si applicano alla porzione di terreno a distanza planimetrica, sia in destra che in sinistra, dall'asse del corso d'acqua, non inferiore a 75 m."

Le **NTA del PAI all' art. 10** "Disciplina delle fasce di pertinenza fluviale", chiariscono che sono possibili interventi di realizzazione di opere di interesse pubblico interessanti gli alvei fluviali e le fasce di pertinenza fluviale definite dal **comma 3** "Quando la fascia di pertinenza fluviale non è arealmente individuata nelle cartografie in allegato, le norme si applicano alla porzione di terreno, sia in destra che in sinistra, contermina all'area golenale, come individuata all'art. 6 comma 8, di ampiezza comunque non inferiore a 75 m."

In considerazione di quanto su citato la presente relazione viene richiesta come integrazione alla documentazione progettuale ai fini della valutazione del rilascio del nulla osta da parte della stessa AdBP.

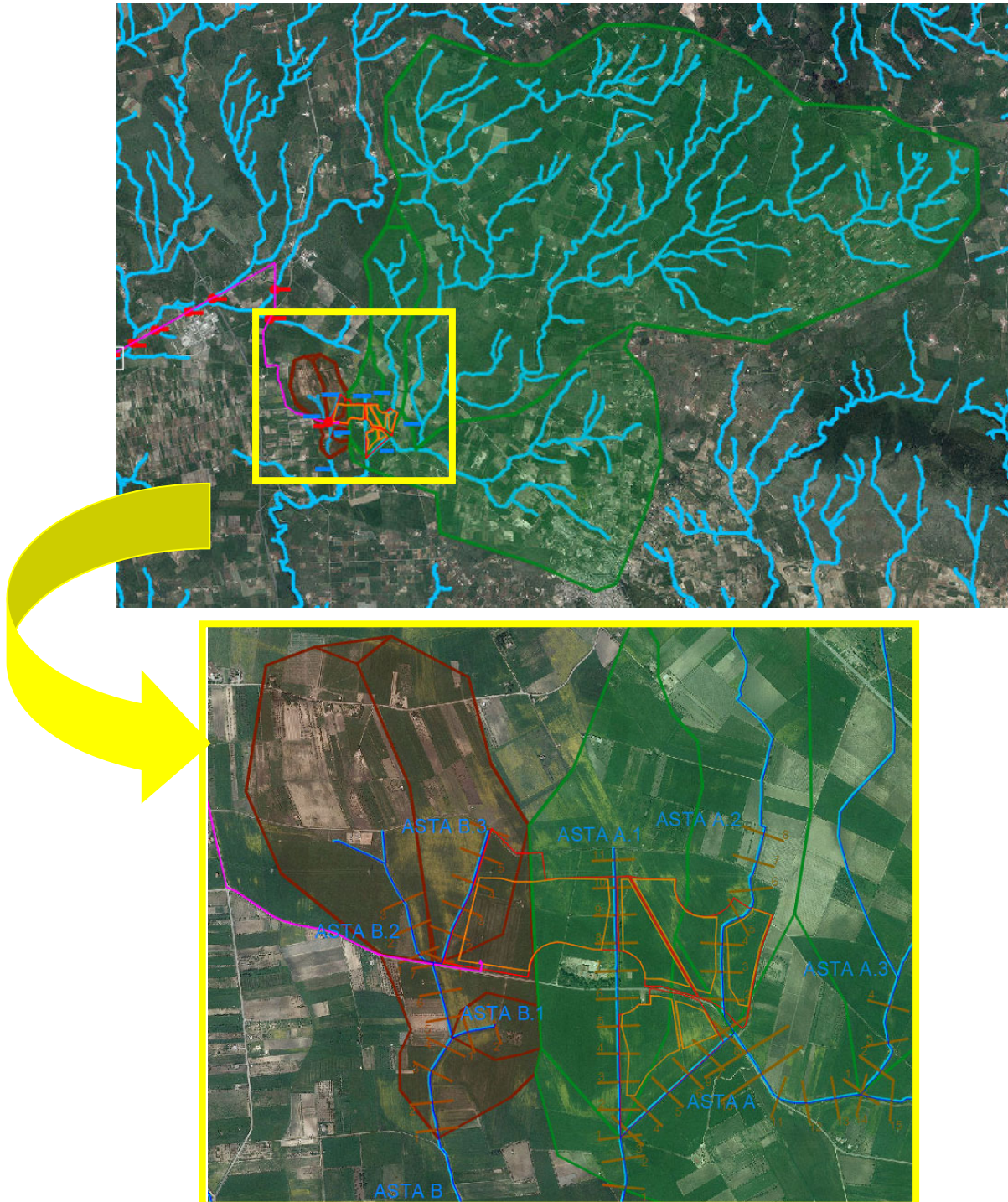
Lo studio è stato suddiviso nei seguenti punti:

- Fase di inquadramento generale dell'area di intervento: analisi di tutti gli elementi significativi di carattere geologico, geomorfologico ed idrogeologico della porzione di territorio oggetto di intervento;
- Fase di acquisizione dei dati: cartografia, rilievi topografici, modello digitale del terreno (DEM) e raccolta accurata di dati idrologici storici del tratto fluviale in esame;
- Fase di analisi idrologica con metodologia VaPi Puglia nell'ipotesi di verifica della "Sicurezza Idraulica" ovvero per un tempo di ritorno  $T_r$  pari a 200 anni;
- studio idraulico delle aste fluviali di interesse e determinazione dei livelli idrici e delle aree inondabili al variare del tempo di ritorno;
- analisi e valutazione della compatibilità idraulica delle opere oggetto di autorizzazione.



### 3. INQUADRAMENTO DEI BACINI IDROGRAFICI

Dall'analisi dell'orografia dell'area di intervento sono stati individuati **n.2 bacini idrografici principali** (asta A e asta B), con i relativi sottobacini per le aste secondarie confluenti (aste A.1-A.2-A.3-B.1-B.2-B.3).



**Figura 10 - Inquadramento dei bacini idrografici su Ortofoto**

I parametri geomorfologici caratteristici del bacino idrografico sono indicati nella tabella

seguinte:

<b>Bacino Asta A</b>		
Lungh. dell'asta princ.	[Km]	16.50
H massima del bacino	[m]	451.00
H media del bacino	[m]	355.50
H minima del bacino	[m]	260.00
H monte dell'asta princ.	[m]	390.00
H media dell'asta princ.	[m]	325.00
Superficie del Bacino	[Kmq]	64.06
Pendenza media del bacino	[%]	1.12
Pendenza media dell'asta principale	[m/m]	0.01
<b>Bacino Asta A.1</b>		
Lungh. dell'asta princ.	[Km]	0.95
H massima del bacino	[m]	280.00
H media del bacino	[m]	270.00
H minima del bacino	[m]	260.00
H monte dell'asta princ.	[m]	268.00
H media dell'asta princ.	[m]	264.00
Superficie del Bacino	[Kmq]	0.73
Pendenza media del bacino	[%]	2.00
Pendenza media dell'asta principale	[m/m]	0.01
<b>Bacino Asta A.2</b>		
Lungh. dell'asta princ.	[Km]	3.20
H massima del bacino	[m]	325.00
H media del bacino	[m]	292.50
H minima del bacino	[m]	260.00
H monte dell'asta princ.	[m]	315.00
H media dell'asta princ.	[m]	287.50
Superficie del Bacino	[Kmq]	2.33
Pendenza media del bacino	[%]	1.86
Pendenza media dell'asta principale	[m/m]	0.02



<b>Bacino Asta A.3</b>		
Lungh. dell'asta princ.	[Km]	15.20
H massima del bacino	[m]	451.00
H media del bacino	[m]	357.00
H minima del bacino	[m]	263.00
H monte dell'asta princ.	[m]	390.00
H media dell'asta princ	[m]	326.50
Superficie del Bacino	[Kmq]	48.26
Pendenza media del bacino	[%]	1.25
Pendenza media dell'asta principale	[m/m]	0.01

<b>Bacino Asta B</b>		
Lungh. dell'asta princ.	[Km]	1.10
H massima del bacino	[m]	275.00
H media del bacino	[m]	266.50
H minima del bacino	[m]	258.00
H monte dell'asta princ.	[m]	270.00
H media dell'asta princ	[m]	264.00
Superficie del Bacino	[Kmq]	1.18
Pendenza media del bacino	[%]	1.55
Pendenza media dell'asta principale	[m/m]	0.01

<b>Bacino Asta B.1</b>		
Lungh. dell'asta princ.	[Km]	0.17
H massima del bacino	[m]	260.00
H media del bacino	[m]	259.50
H minima del bacino	[m]	259.00
H monte dell'asta princ.	[m]	260.00
H media dell'asta princ	[m]	259.50
Superficie del Bacino	[Kmq]	0.06
Pendenza media del bacino	[%]	0.61
Pendenza media dell'asta principale	[m/m]	0.01

<b>Bacino Asta B.2</b>		
Lungh. dell'asta princ.	[Km]	0.48
H massima del bacino	[m]	275.00
H media del bacino	[m]	270.00
H minima del bacino	[m]	265.00
H monte dell'asta princ.	[m]	270.00
H media dell'asta princ	[m]	267.50
Superficie del Bacino	[Kmq]	0.49
Pendenza media del bacino	[%]	2.11
Pendenza media dell'asta principale	[m/m]	0.01

<b>Bacino Asta B.3</b>		
------------------------	--	--



<i>Lungh. dell'asta princ.</i>	<i>[Km]</i>	0.51
<i>H massima del bacino</i>	<i>[m]</i>	275.00
<i>H media del bacino</i>	<i>[m]</i>	270.00
<i>H minima del bacino</i>	<i>[m]</i>	265.00
<i>H monte dell'asta princ.</i>	<i>[m]</i>	270.00
<i>H media dell'asta princ</i>	<i>[m]</i>	267.50
<i>Superficie del Bacino</i>	<i>[Kmq]</i>	0.37
<i>Pendenza media del bacino</i>	<i>[%]</i>	1.97
<i>Pendenza media dell'asta principale</i>	<i>[m/m]</i>	0.01

#### 4.1 Inquadramento geologico

Le aree interessate dalla realizzazione dell'opera in progetto ricadono nel Foglio 202 (Taranto) della Carta Geologica d'Italia, scala 1:100.000.

Dal punto di vista geologico, la litologia dell'area in esame è rappresentata da unità a prevalente componente calcarea.

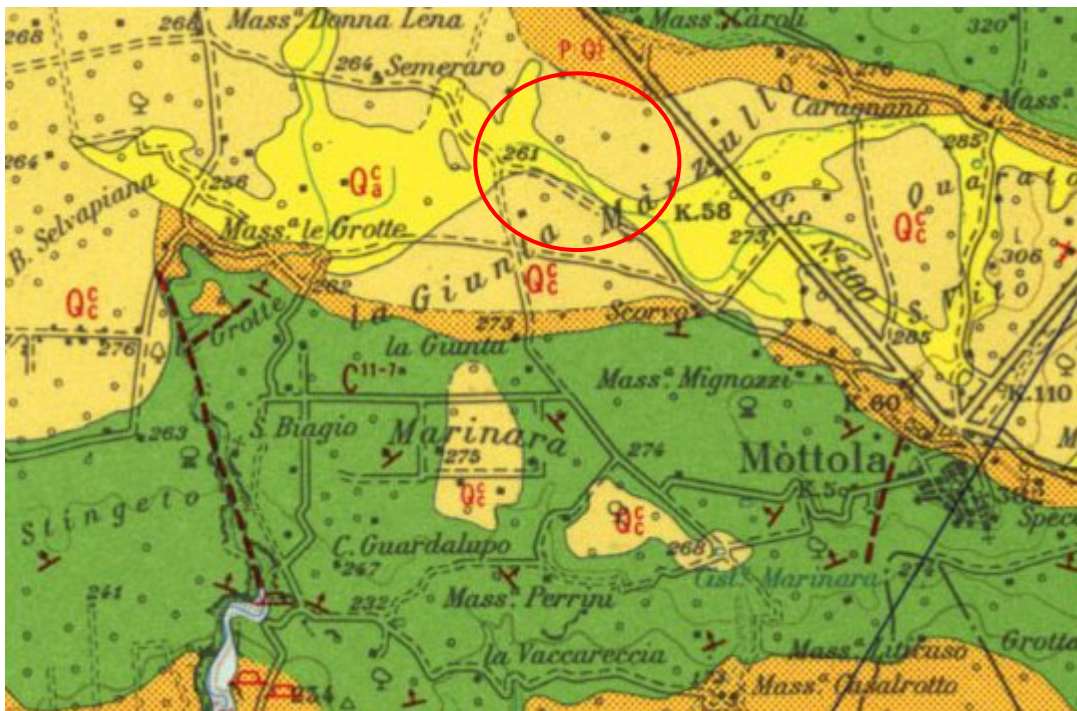
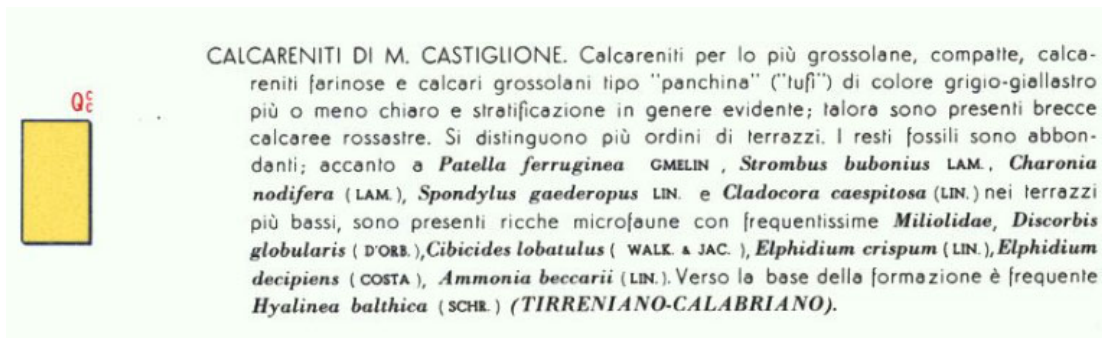
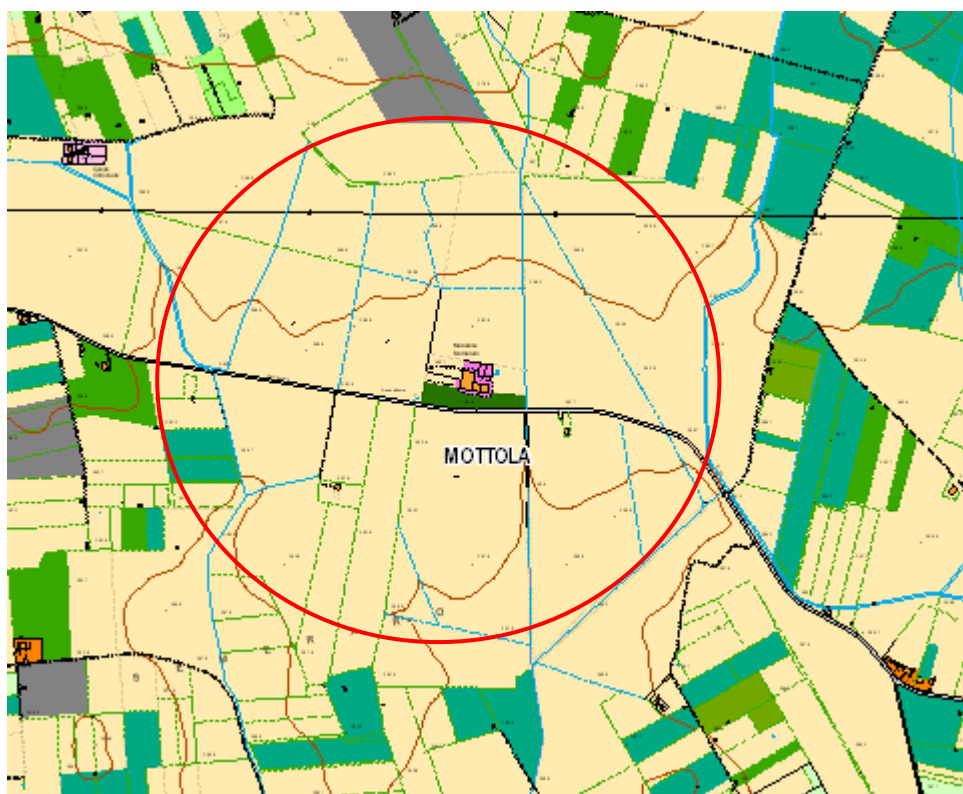


Figura 11 - Stralcio non in scala del foglio n°202 "Taranto" della Carta Geologica d'Italia con individuazione area di intervento

## **4.2 Uso del suolo**

Per quanto riguarda l'uso del suolo, l'area d'impianto è caratterizzata esclusivamente da seminativi semplici in aree non irrigue.



**Figura 12 – Carta Uso del suolo**

#### **4. ANALISI REGIONALE DELLE PIOGGE IN PUGLIA**

L'approccio più moderno per lo studio degli eventi estremi in idrologia viene condotto con un insieme di procedure atte a trasferire l'informazione idrologica e nota come "analisi regionale".

Alla base di un modello di regionalizzazione vi è la preventiva individuazione del meccanismo fisico-stocastico, che spiega la distribuzione della variabile idrologica di interesse nello spazio e nel dominio di frequenza statistica.

La scelta del tipo di modello richiede la conoscenza di alcuni aspetti fondamentali legati alle risorse dedicabili allo studio, alla qualità dell'informazione disponibile e alla precisione richiesta dai risultati. Pertanto, la struttura del modello richiede la costruzione del risolutore numerico e un'attenta identificazione dei parametri di taratura.

Numerosi studi sono stati condotti in Inghilterra, negli Stati Uniti ed in Italia su questi modelli a più parametri, noti in letteratura con gli acronimi GEV (Jenkinson, 1955), Wakeby (Houghton 1978) e TCEV (Rossi e Versace, 1982; Rossi et al. 1984).

Quest'ultima sigla deriva dall'espressione inglese Two Component Extreme Value, che rappresenta la distribuzione di probabilità corrispondente ad un certo evento estremo, sia che provenga dalla distribuzione statistica di eventi ordinari sia che provenga da quella degli eventi straordinari. A tal fine occorre sottolineare che la principale fonte di incertezza deriva proprio dagli eventi estremamente intensi che hanno caratteristiche di rarità in ogni sito e aleatorietà per quel che riguarda il sito ove potranno verificarsi nel futuro. Ciò implica che, se in un punto eventi straordinari di un certo tipo non si siano verificati storicamente, questo non è garanzia di sicurezza sulla loro non occorrenza nel futuro.

L'identificazione dei parametri della distribuzione TCEV consente di costruire un modello regionale con struttura gerarchica, che utilizza tre differenti livelli di scala spaziale per la stima dei parametri del modello probabilistico utilizzato, in modo da ottimizzare l'informazione ricavabile dai dati disponibili e dal numero di stazioni della rete di misura.

In seguito, dopo una breve indicazione circa i dati disponibili per lo studio, si procede a fornire i risultati delle varie fasi della procedura di regionalizzazione del territorio pugliese centro-meridionale, territorio nel quale ricade il bacino oggetto di studio.

I dati pluviometrici utilizzati sono quelli pubblicati sugli annali idrologici del compartimento di Bari del S.I.I., le cui stazioni formano la rete di misura delle precipitazioni su tutto il territorio regionale con un'elevata densità territoriale.

Per i massimi annuali delle precipitazioni giornaliere, è stato adottato un modello di regionalizzazione basato sull'uso della distribuzione di probabilità TCEV (legge di distribuzione di probabilità del Valore Estremo a Doppia Componente), che rappresenta la distribuzione del massimo valore conseguito, in un dato intervallo temporale, da una variabile casuale distribuita secondo la miscela di due leggi esponenziali, nell'ipotesi che il numero di occorrenze di questa variabile segua la



legge di Poisson. Il modello proposto ammette che le due componenti, quella straordinaria e ordinaria, appartengano a popolazioni diverse, anche se è ammessa la loro interferenza attraverso un processo poissoniano.

L'identificazione dei parametri della distribuzione TCEV ha consentito di costruire un modello regionale con struttura gerarchica, basata su tre livelli di regionalizzazione, grazie a cui è possibile individuare regioni in cui risulta costante il coefficiente di asimmetria, quindi risultano costanti i due parametri  $\theta^*$  e  $\Lambda^*$  ad esso legati (primo livello di regionalizzazione), e sottoregioni di queste, più limitate, in cui sia costante anche il coefficiente di variazione, e quindi il parametro  $\Lambda_1$  che da esso dipende (secondo livello di regionalizzazione). Il terzo livello è poi finalizzato alla ricerca di eventuali relazioni esistenti, all'interno di più piccole aree, tra il parametro di posizione della distribuzione di probabilità e le caratteristiche morfologiche. In particolare si nota che, all'interno di dette aree, i valori medi dei massimi annuali delle precipitazioni di diversa durata sono o costanti o strettamente correlati alla quota del sito di rilevamento.

La preventiva suddivisione dell'area di studio in zone e sottozone omogenee è stata effettuata in base all'analisi delle massime precipitazioni giornaliere, di cui si dispone del maggior numero di informazioni. La procedura prevede che si ricerchino zone pluviometriche omogenee, entro le quali possano ritenersi costanti i valori dei parametri  $\theta^*$  e  $\Lambda^*$ . Questi parametri non possono essere stimati da un numero ristretto di serie di dati, per cui l'analisi parte dalla possibilità di considerare le 66 stazioni come appartenenti ad un'unica zona al primo livello. I risultati ottenuti dall'analisi del I° livello e II° livello di regionalizzazione sono stati ricavati con riferimento ad un'ipotesi di invarianza dei parametri  $\theta^*$  e  $\Lambda^*$ .

L'analisi del primo livello suggerisce la presenza di un'unica zona omogenea comprensiva di tutte le stazioni della regione.

Analogamente alla procedura operata al primo livello di regionalizzazione, la successiva verifica dell'ipotesi di un'unica zona omogenea è stata effettuata attraverso il confronto delle distribuzioni di frequenza cumulata dei valori osservati del coefficiente di variazione CV e di quelli generati, ottenendo un ottimo risultato che convalida ulteriormente l'ipotesi di intera regione omogenea con un valore costante di  $\Lambda_1$ . Alla luce di tali risultati, è stato possibile assumere realistica l'ipotesi di un'unica zona omogenea al primo e al secondo livello di regionalizzazione.

Nel riquadro a seguire si riportano i valori numerici dei parametri di interesse per lo studio.



	$\theta^*$	$\Lambda^*$	$\Lambda_1$
<b>Puglia centro meridionale</b>	2.121	0.353	17.55

**Tabella 1- Parametri d'interesse.**

La distribuzione regionale della probabilità cumulata del massimo annuale di precipitazione di assegnata durata  $X_{d,TR}$  viene espressa in funzione di una quantità  $K_{TR}$ , detta fattore probabilistico di crescita, funzione del periodo di ritorno  $TR$  e indipendente dalla durata.

Tale fattore è, in generale, funzione del tempo di ritorno  $TR$  ed è definito dal rapporto seguente:

$$K_T = \frac{X_{d,T}}{\mu(X_{d,T_r})}$$

essendo  $X_{d,TR}$  il massimo annuale di precipitazione per assegnata durata e tempo di ritorno.

La curva di distribuzione di probabilità di tale rapporto ha caratteristiche regionali in quanto è unica nell'ambito della regione nella quale sono costanti i parametri della distribuzione di probabilità della  $X_{d,TR}$ . Pertanto, fissati i parametri di forma e di scala della distribuzione di probabilità cumulata, all'interno della zona pluviometrica omogenea previamente identificata, è possibile esprimere la relazione tra il tempo di ritorno  $TR$  ed il fattore di crescita  $K_{TR}$ , potendo ritenere trascurabile la variabilità del fattore di crescita con la durata. Infatti, calcolando, nelle stazioni disponibili, le medie pesate dei coefficienti di asimmetria e dei coefficienti di variazione alle diverse durate, si osserva una variabilità inferiore a quella campionaria.

L'indipendenza dalla durata di  $K_{TR}$  autorizza ad estendere anche alle piogge orarie, i risultati ottenuti con riferimento alle piogge giornaliere ai primi due livelli di regionalizzazione.

Sulla scorta dei valori regionali dei parametri  $\theta^*$ ,  $\Lambda^*$  e  $\Lambda_1$ , è possibile calcolare la curva di crescita per la Puglia centro – meridionale, anche se tale fattore può essere calcolata in funzione di  $TR$  attraverso una approssimazione asintotica della curva di crescita, che ha la seguente forma:

$$K_{TR} = a + b * \ln(T_R)$$

in cui i parametri  $a$  e  $b$  sono esprimibili in funzione dei valori regionali di  $\theta^*$ ,  $\Lambda^*$  e  $\Lambda_1$ .

Per la Puglia settentrionale, l'espressione della curva di crescita approssimata attraverso la relazione precedente è, quindi, la seguente:

$$K_T = 0.5648 + 0.415 * \ln T_R \quad (1)$$

Per la Puglia centro-meridionale, l'espressione della curva di crescita approssimata attraverso la relazione precedente è, invece, la seguente:



$$K_T = 0.1599 + 0.5166 * \ln T_R \quad (2)$$

anche se va rimarcato come l'utilizzo di questa approssimazione comporta una sottostima del fattore di crescita, con valori superiori al 10% per T<50 anni e superiori al 5% per T<100 anni.

Nel terzo livello di analisi regionale viene analizzata la variabilità spaziale del parametro di posizione (media, moda, mediana) delle serie storiche in relazione a fattori locali. Nell'analisi delle piogge orarie, in analogia ai risultati classici della statistica idrologica, per ogni sito è possibile legare il valore medio  $\mu$  (Xt) dei massimi annuali della precipitazione media di diversa durata alle durate stesse, attraverso la relazione:

$$\mu(X_d) = ad^n$$

essendo a ed n due parametri variabili da sito a sito. Ad essa si dà il nome di curva di probabilità pluviometrica.

Per l'intera regione pugliese si hanno le seguenti zone omogenee di 3° livello:

- nell'area della Puglia settentrionale, il VAPI Puglia fornisce l'individuazione di 4 aree omogenee dal punto di vista del legame fra altezza di precipitazione giornaliera  $\mu$  (Xg) e quota. Ognuna di esse è caratterizzata da una correlazione lineare con elevati valori dell'indice di determinazione tra i valori  $\mu$  (Xg) e le quote sul mare h:

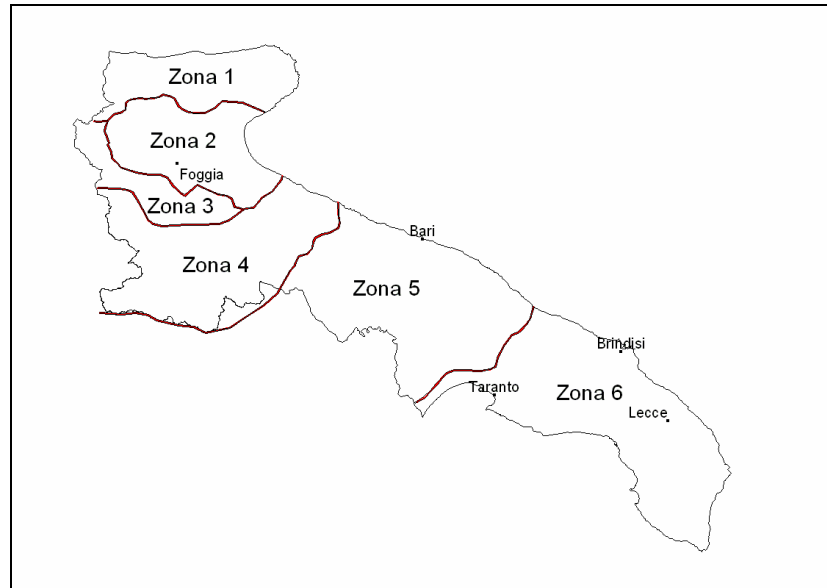
<b>ZONA 1-3</b>	$\mu(h,t) = at^{(ch+D+\ln a - \ln a)/\ln 24}$
<b>ZONA 2-4</b>	$\mu(h,t) = at^n$

**Tabella 2- Correlazione tra  $\mu$  (Xg) e la durata di precipitazione.**

in cui C e D sono parametri che dipendono dall'area omogenea;

- nell'area centro-meridionale della Puglia, il VAPI fornisce l'individuazione di una analoga dipendenza della precipitazione giornaliera dalla quota sul livello medio mare per le 66 stazioni pluviometriche esaminate nella regione.

Il territorio è suddivisibile in due sottozone omogenee individuate dal Nord-Barese - Murgia Centrale e dalla Penisola Salentina, contrassegnate rispettivamente come zona 5 e zona 6, in continuità con quanto visto in Puglia Settentrionale.



**Figura 13 - Regione Puglia: zone omogenee al 3° livello.**

Alla luce di quanto fin qui esposto, la relazione che lega l'altezza media di precipitazione alla durata ed alla quota del sito, per le due aree in esame, è generalizzata nella forma:

$$\mu(X_d) = a d^{(Ch+D+\ln \alpha - \ln a)/\ln 24} \quad (3)$$

in cui  $a$  è il valor medio, pesato sugli anni di funzionamento, dei valori di  $\mu(X_d)$  relativi alle serie con  $N \geq 10$  anni ricadenti in ciascuna zona omogenea e  $\alpha = x_g/x_{24}$  è il rapporto fra le medie delle piogge giornaliere e quelle di durata 24 ore per serie storiche di pari numerosità.

Per la Puglia il valore del coefficiente  $\alpha$  è risultato praticamente costante sull'intera regione e pari a 0.89;  $C$  e  $D$  rappresentano invece i coefficienti della regressione lineare fra il valor medio dei massimi annuali delle piogge giornaliere e la quota sul livello del mare. Per le zone individuate, i valori dei parametri sono riportati nel riquadro a seguire (cfr. Tabella 3).

Zona	$\alpha$	$a$	$C$	$D$	$N$
1	0,89	28,66	0,00503	3,959	-
2	0,89	22,23	-	-	0,247
3	0,89	25,325	0,000531	3,811	-
4	0,89	24,7	-	-	0,256
5	0,89	28,2	0,0002	4,0837	-
6	0,89	33,7	0,0022	4,1223	-

**Tabella 3 - Coefficienti del 3° livello di regionalizzazione.**

Quindi, per ottenere l'altezza di precipitazione della zona di interesse si deve moltiplicare il fattore di crescita (KT) per la precipitazione media:

$$h = K_T \cdot \mu(X_d) \quad (4)$$

#### 4.1 Curve di possibilità climatica

Lo studio idrologico condotto ha, quindi, consentito la determinazione delle curve di possibilità climatiche a diversi tempi di ritorno (30, 200 e 500 anni) in corrispondenza della sezione di chiusura del bacino oggetto del presente studio.

Per la determinazione delle curve di possibilità climatiche con il metodo di Gumbel si è fatto riferimento alla stazione pluviometrica che interessa il bacino idrografico di interesse, la stazione pluviometrica di **Castellaneta**, che interessa per la maggior parte il bacino idrografico di interesse e di cui si riporta l'annale idrologico.

Stazione di:	Castellaneta				
anni	durate [ore]				
	1	3	6	12	24
1962	43.0	44.8	44.8	44.8	44.8
1963	20.6	35.0	38.8	42.0	42.4
1964	27.2	31.4	35.2	50.0	53.6
1965	43.4	50.6	51.0	51.0	51.4
1966	60.0	79.8	80.0	90.8	107.4
1967	40.0	44.8	44.8	44.8	44.8
1968	42.0	47.0	47.0	47.0	47.0
1969	31.8	37.6	62.0	63.6	68.6
1970	32.0	38.2	39.2	39.2	38.2
1971	24.0	41.8	43.6	45.2	59.2
1972	28.0	41.8	42.2	42.2	78.0
1973	25.0	25.8	33.4	41.4	60.8
1974	41.2	45.0	45.0	50.2	56.8
1975	17.4	32.0	48.6	51.8	52.6
1976	25.6	44.0	59.2	73.6	105.6
1977	15.0	28.4	36.0	39.6	39.8
1978	18.6	22.8	42.0	59.2	63.4
1979	13.2	29.4	40.0	48.4	51.6
1980	27.0	30.0	40.0	61.0	78.0
1981	26.8	27.2	27.4	27.4	32.2
1982	36.0	44.0	44.0	44.0	48.4
1983	26.0	37.8	46.8	53.4	59.4
1984	34.6	49.0	50.4	56.4	77.2
1985	19.6	42.0	52.2	55.0	75.0
1986	21.0	28.4	30.0	31.2	34.4
1987	20.8	38.0	38.8	38.8	40.8
1988	29.6	41.0	49.8	68.0	71.6
1989	29.8	40.6	42.8	50.0	50.0
1990	27.6	29.2	36.6	52.6	78.8



1991	94.4	94.4	94.4	94.4	94.4
1992	12.4	27.8	32.6	35.0	44.8
1993	20.6	26.0	34.0	39.0	55.0
1994	>>	37.0	43.4	48.0	60.2
1995	27.8	27.8	27.8	31.8	49.2
1996	44.0	74.6	75.2	95.4	95.4
1997	88.6	121.6	121.8	122.8	123.4
1998	21.8	35.0	36.0	39.4	40.8
1999	27.0	62.6	66.8	66.8	81.6
2000	27.2	31.8	36.2	44.2	53.4
2001	15.8	21.0	25.6	44.2	52.6
2002	50.8	52.4	52.4	52.4	52.4
2003	142.2	224.0	242.6	244.2	244.4
2004	47.4	52.0	70.2	86.8	90.0
2005	28.0	50.8	51.6	75.2	88.0
2006	37.8	45.6	54.8	81.8	92.6
2007	26.0	39.0	45.4	49.2	55.4
2008	42.0	61.4	69.4	75.2	76.0
2009	21.8	29.8	32.0	35.8	46.2
2010	26.6	49.6	71.6	82.4	111.2
2011	19.4	31.0	40.2	47.6	78.6
2012	25.0	25.0	31.4	40.0	50.2

Per la determinazione delle curve di possibilità pluviometriche con il metodo VAPI si è verificato che l'area d'intervento si trova per la maggior parte nella **zona 5** (cfr. immagine seguente). Pertanto, si è applicata la relazione (4) e utilizzando i valori della Tabella 3 relativi alla zona 5.

Quindi, per la determinazione delle curve di possibilità pluviometrica si utilizza la seguente relazione:

$$x(t,z) = 28.20 t^{(0.0002z+4.0837+\ln 0.89-\ln 28.20)/\ln 24} \quad (5)$$

L'elaborazione dei dati pluviometrici ha condotto alla determinazione delle curve di possibilità climatica per i differenti tempi di ritorno.

Si riportano di seguito delle tabelle riassuntive relative alle altezze di pioggia ricavate utilizzando la metodologia VAPI e quella della distribuzione probabilistica di Gumbel (cfr. tabelle seguenti):

Tr = 30 anni					
Distribuzioni probabilistiche	DURATE				
	1 h	3 h	6 h	12 h	24 h
GUMBEL	82.752	114.578	123.098	130.539	140.389
VAPI	54.058	68.837	80.175	93.382	108.763

Tabella 4 – \_Tr = 30 anni - Altezze di pioggia (mm).

Tr = 200 anni					
Distribuzioni probabilistiche	DURATE				
	1 h	3 h	6 h	12 h	24 h



<b>GUMBEL</b>	116.037	161.253	171.577	179.448	189.951
<b>VAPI</b>	81.696	104.030	121.165	141.123	164.369

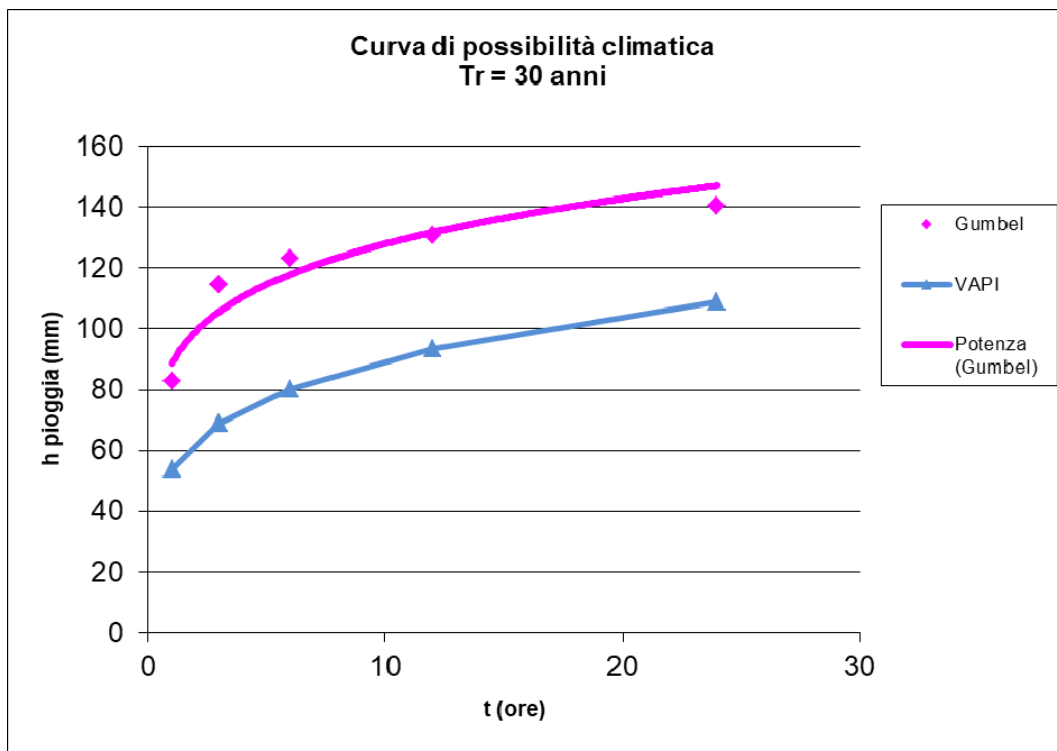
**Tabella 5 – Tr = 200 anni - Altezze di pioggia (mm).**

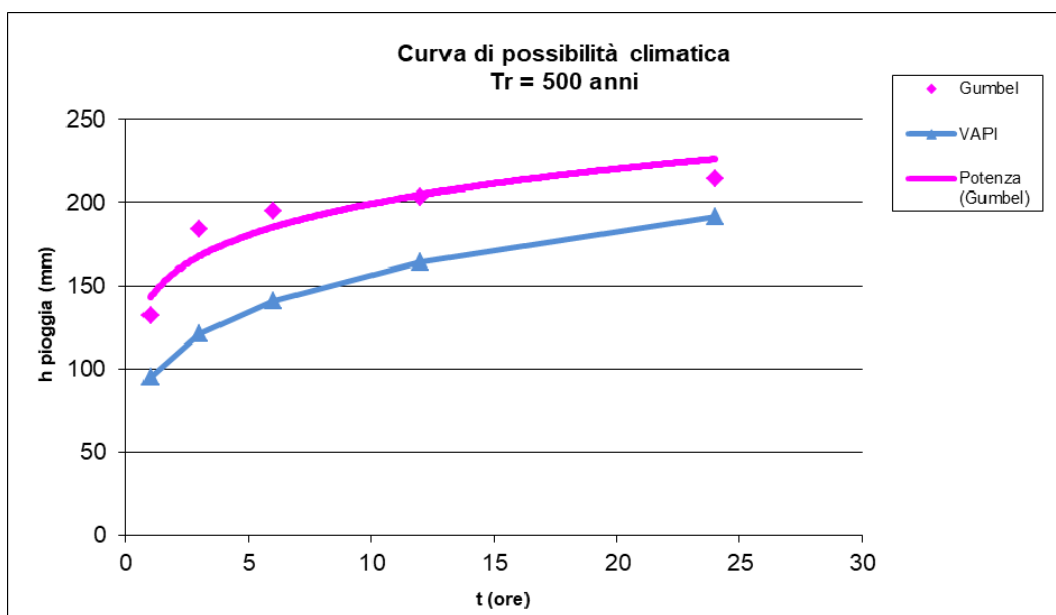
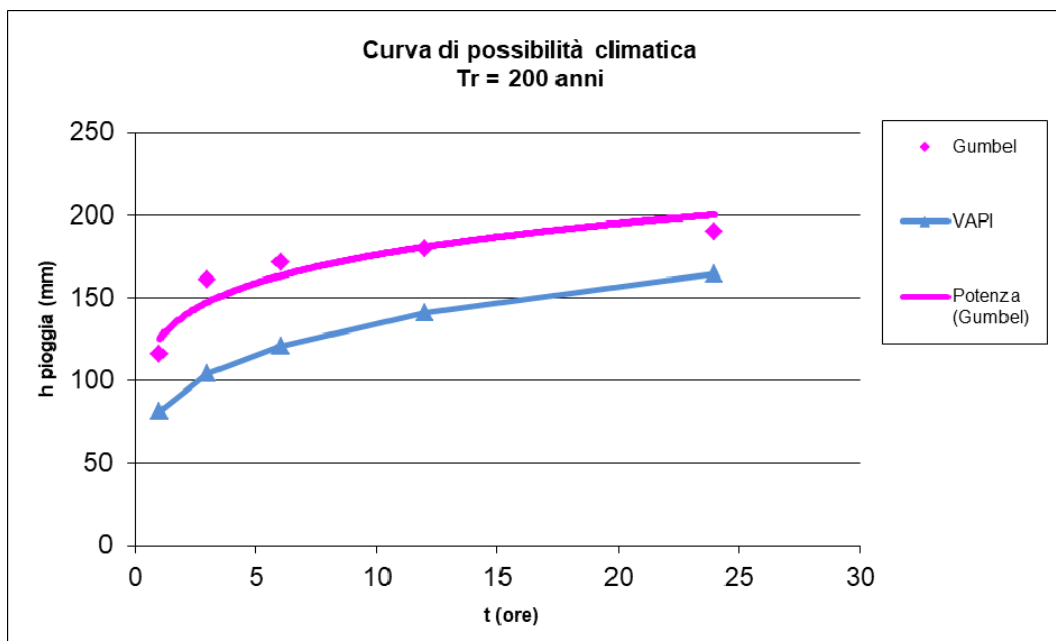
Tr = 500 anni					
Distribuzioni probabilistiche	DURATE				
	1 h	3 h	6 h	12 h	24 h
<b>GUMBEL</b>	132.019	183.663	194.853	202.931	213.748
<b>VAPI</b>	95.044	121.027	140.963	164.182	191.226

**Tabella 6 – Tr = 500 anni - Altezze di pioggia (mm).**

Confrontando le due metodologie adottate si evince che **le altezze di pioggia determinate utilizzando il metodo VAPI siano quasi sempre minori di quelle derivate dall'utilizzo della metodologia GUMBEL. Pertanto, nel presente studio è utilizzata la curva di possibilità climatica determinata dall'applicazione del metodo che ha fornito i valori più elevati delle altezze di pioggia.**

Nelle figure seguenti (cfr. figure seguenti) si riportano le curve di possibilità climatiche ricavate in corrispondenza dei diversi tempi di ritorno adottati, per il bacino in analisi. Tali curve sono quelle utilizzate successivamente per la valutazione delle portate di piena in corrispondenza della sezione di chiusura del bacino di interesse.





## 5. ANALISI IDRAULICA

L'analisi idraulica, necessaria al calcolo della portata di massima piena per i bacini individuati nell'area in questione, può essere condotta secondo vari metodi, tra i quali possono essere considerati:

- i metodi empirici, che si basano unicamente su parametri morfologici del bacino in esame, senza tenere in considerazione alcuna misura pluviometrica o idrometrica;
- i metodi semiempirici (utilizzati nel presente studio), che valutano la portata anche in funzione dell'altezza di pioggia;
- i metodi analitici, che si basano sull'ipotesi di una correlazione diretta tra afflussi deflussi.

Il metodo da utilizzare dipende innanzitutto dal tipo di verifica idraulica che si intende condurre, in quanto, se si affronta un'analisi in moto permanente o addirittura uniforme, la portata massima può essere calcolata con metodi semplificati tipo il cinematico o razionale; quando la situazione morfologica ed idrografica diventa alquanto complessa, può rendersi indispensabile una verifica in moto vario e, di conseguenza, diventa necessario conoscere la forma dell'idrogramma di piena attraverso l'applicazione di metodi analitici.

In generale, nei casi di regolarità dell'asta fluviale e del bacino idrografico di pertinenza, è generalmente impiegato uno studio in moto permanente ricorrendo al metodo razionale per la determinazione della portata di massima piena.

### 5.1 Valutazione portate di piena

La stima delle portate di piena è stata effettuata applicando metodi analitici di tipo semplificato, in grado di definire, su base geomorfologica, un parametro chiave nel processo di generazione dei deflussi di piena, quale il tempo di corrivazione del bacino ( $t_c$ ).

In particolare, è stato applicato, a diversi tempi di ritorno (30, 200 e 500 anni), il metodo di razionale e il metodo del Curve Number (CN).

#### Metodo Razionale

Per la determinazione della massima piena temibile è stato utilizzato il metodo razionale, che rappresenta un metodo indiretto basato sulle seguenti tre ipotesi fondamentali:

1. la pioggia critica ha durata pari al tempo di corrivazione;
2. la precipitazione si suppone di intensità costante per tutta la durata dell'evento;
3. il tempo di ritorno della portata è pari a quello della pioggia critica.

La portata di piena, in funzione del tempo di ritorno, è pari ha:

$$Q = \frac{c * h * A * k}{t_c}$$



Q = portata di piena [m<sup>3</sup>/sec]

c = coefficiente di deflusso

h = pioggia netta [mm]

A = area del bacino [km<sup>2</sup>]

t<sub>c</sub> = tempo di corrivazione [ore]

k = 0.2777 (fattore che tiene conto della non uniformità delle unità di misura).

Il valore di h rappresenta l'altezza di precipitazione che cade in un dato sito in un tempo uguale al tempo di corrivazione t<sub>c</sub>: infatti se la durata della precipitazione è inferiore al tempo t<sub>c</sub> solo una parte del bacino A contribuirà alla formazione della portata, che risulterà pertanto di minore entità. Viceversa se la durata dell'evento è maggiore, l'intensità della pioggia sarà minore e quindi meno intenso il colmo di piena.

Il tempo di corrivazione, che è un parametro chiave quando si fa riferimento a metodi analitici di tipo semplificato, è definito come il tempo impiegato dalla particella d'acqua idraulicamente più lontana a percorrere l'intero bacino fino alla sezione di chiusura.

Il tempo di corrivazione di un bacino è generalmente definito come il tempo necessario alla goccia di pioggia caduta nel punto idraulicamente più lontano del bacino per raggiungere la sezione di chiusura dello stesso.

Una relazione frequentemente utilizzata per il calcolo di tale grandezza è quella proposta da Giandotti (1934), valida per bacini idrografici aventi superficie (A) variabile tra 170 e 70000 km<sup>2</sup>, che si esplicita nella seguente relazione:

$$t_c = \frac{4\sqrt{A} + 1.5L}{0.8\sqrt{H_m}} \quad (6)$$

nella quale t<sub>c</sub> è espresso in ore, A in km<sup>2</sup> mentre L, la lunghezza dell'asta principale del corso d'acqua a partire dallo spartiacque, è espressa in km e H<sub>m</sub>, altitudine media del bacino, riferita alla sezione di chiusura, in metri sul livello del mare.

Pezzoli (1970), analizzando il comportamento di alcuni bacini piemontesi, ha proposto, invece, una diversa espressione del tempo di corrivazione che ha la seguente forma:

$$t_c = 0.055 \frac{L}{\sqrt{i_a}} \quad (7)$$

nella quale t<sub>c</sub> è espresso in ore e L in km. Il parametro i<sub>a</sub> rappresenta la pendenza media (m/m) dell'asta principale.

Kirpich, infine, utilizzando i dati sperimentali di sei bacini americani, nel 1940, aveva proposto

una correlazione grafica tra il tempo di corrivazione e il rapporto  $\frac{L}{\sqrt{i_a}}$ . Tale grafico,



successivamente integrato dal contributo di altri dati sperimentali, ha condotto alla formulazione della seguente equazione, comunemente nota con il nome di equazione di Kirpich.

$$t_c = 0.00325 \left( \frac{L}{\sqrt{i_a}} \right)^{0.77} \quad (10)$$

Il complesso dei valori determinabili con le succitate equazioni può essere ben rappresentato da un'unica espressione (Ferro, Sistemazione dei Bacini Idrografici, McGraw Hill, 2002), che integra tutti i contributi sperimentali derivanti dalle esperienze condotte, ed ha la seguente equazione, nel seguito denominata P-C-W-K:

$$t_c = 0.02221 \left( \frac{L}{\sqrt{i_a}} \right)^{0.8} \quad (11)$$

nella quale  $t_c$  è espresso in minuti e L in metri.

Applicando le relazioni succitate, con riferimento ai parametri geomorfologici del bacino di interesse, si sono ottenuti i seguenti risultati:

	P-C-W-K (h)	Giandotti (h)	Pezzoli (h)	Kirpich (h)
<b>BACINO Asta A</b>	6.079	7.261	10.224	3.709
<b>BACINO Asta A.1</b>	0.603	1.911	0.569	0.401
<b>BACINO Asta A.2</b>	1.198	2.390	1.342	0.777
<b>BACINO Asta A.3</b>	5.560	6.522	9.146	3.404
<b>BACINO Asta B</b>	0.611	2.573	0.579	0.407
<b>BACINO Asta B.1</b>	0.170	2.114	0.117	0.118
<b>BACINO Asta B.2</b>	0.317	1.964	0.255	0.216
<b>BACINO Asta B.3</b>	0.343	1.781	0.281	0.233

La valutazione successiva di stima della portata di piena di calcolo è stata eseguita facendo riferimento al tempo di corrivazione valutato dalla media tra le suddette relazioni.

Il valore del tempo di corrivazione desunto dalla media è riportato nella tabella seguente:

	Tc (h)
<b>BACINO Asta A</b>	6.818
<b>BACINO Asta A.1</b>	0.871
<b>BACINO Asta A.2</b>	1.427
<b>BACINO Asta A.3</b>	6.158
<b>BACINO Asta B</b>	1.043
<b>BACINO Asta B.1</b>	0.630
<b>BACINO Asta B.2</b>	0.688
<b>BACINO Asta B.3</b>	0.659

Per ciò che concerne il coefficiente di deflusso  $\phi$ , esso è stato stimato effettuando una media pesata dei valori stimati per le differenti sub-aree isoparametriche caratterizzate da un determinato valore di tipo di terreno, dal punto di vista della geologia e dell'uso del suolo, sulla base dei valori consigliati in letteratura; i pesi sono stati calcolati in funzione delle sotto aree sull'area totale del bacino individuato.

Tra le numerose indicazioni esistenti nella letteratura tecnico-scientifica per la valutazione del coefficiente di deflusso, sono stati utilizzati i valori indicati dal Manuale di Ingegneria Civile riportati nella tabella seguente:

<b>Tipo di terreno</b>	<b>Coltivato</b>	<b>Pascolo</b>	<b>Bosco</b>
Molto permeabile: sabbia o ghiaia	0.20	0.15	0.30
Permeabile: limo	0.40	0.35	0.30
Poco permeabile: argilla o substrato roccioso	0.50	0.45	0.40
<b>Tipologia urbanistica</b>		<b><math>\phi</math></b>	
Costruzioni dense		0.80	
Costruzioni Spaziate		0.60	
Aree con ampi cortili e giardini		0.50	
Zone a villini sparsi		0.30-0.40	
Giardini, prati e zone non edificabili né destinate a strade		0.20	
Parchi e boschi		0.05-0.10	

Effettuando una media pesata per i bacini di interesse si ottiene un coefficiente di deflusso pari a 0,300.

Applicando i valori precedenti nella formula razionale sono stati ottenuti i seguenti valori per le portate di piena:

Tr	a	n	tc [h]	h [mm]	ic [mm]	Q [mc/s]
<b>30 anni</b>	88.749	0.159	6.818	120.347	17.651	94.225
<b>200 anni</b>	125.485	0.147	6.818	166.406	24.407	130.286
<b>500 anni</b>	143.133	0.143	6.818	188.512	27.649	147.593

**Valori delle portate di piena con il metodo razionale del Bacino dell'Asta A**

Tr	a	n	tc [h]	h [mm]	ic [mm]	Q [mc/s]
<b>30 anni</b>	88.749	0.159	0.871	86.827	99.674	6.031
<b>200 anni</b>	125.485	0.147	0.871	122.965	141.159	8.541
<b>500 anni</b>	143.133	0.143	0.871	140.327	161.091	9.747

**Valori delle portate di piena con il metodo razionale del Bacino dell'Asta A.1**

Tr	a	n	tc [h]	h [mm]	ic [mm]	Q [mc/s]
<b>30 anni</b>	88.749	0.159	1.427	93.897	65.812	12.751
<b>200 anni</b>	125.485	0.147	1.427	132.217	92.670	17.955
<b>500 anni</b>	143.133	0.143	1.427	150.620	105.569	20.455

**Valori delle portate di piena con il metodo razionale del Bacino dell'Asta A.2**

Tr	a	n	tc [h]	h [mm]	ic [mm]	Q [mc/s]
<b>30 anni</b>	88.749	0.159	6.158	118.418	19.230	77.333
<b>200 anni</b>	125.485	0.147	6.158	163.933	26.621	107.056
<b>500 anni</b>	143.133	0.143	6.158	185.778	30.169	121.322

**Valori delle portate di piena con il metodo razionale del Bacino dell'Asta A.3**

Tr	a	n	tc [h]	h [mm]	ic [mm]	Q [mc/s]
<b>30 anni</b>	88.749	0.159	1.043	89.338	85.686	8.450
<b>200 anni</b>	125.485	0.147	1.043	126.257	121.096	11.943
<b>500 anni</b>	143.133	0.143	1.043	143.993	138.106	13.620

**Valori delle portate di piena con il metodo razionale del Bacino dell'Asta B**

Tr	a	n	tc [h]	h [mm]	ic [mm]	Q [mc/s]
<b>30 anni</b>	88.749	0.159	0.630	82.467	130.980	0.614
<b>200 anni</b>	125.485	0.147	0.630	117.233	186.197	0.872
<b>500 anni</b>	143.133	0.143	0.630	133.942	212.735	0.996

**Valori delle portate di piena con il metodo razionale del Bacino dell'Asta B.1**

Tr	a	n	tc [h]	h [mm]	ic [mm]	Q [mc/s]
----	---	---	--------	--------	---------	----------



<b>30 anni</b>	88.749	0.159	0.688	83.632	121.591	4.967
<b>200 anni</b>	125.485	0.147	0.688	118.767	172.672	7.053
<b>500 anni</b>	143.133	0.143	0.688	135.651	197.220	8.056

**Valori delle portate di piena con il metodo razionale del Bacino dell'Asta B.2**

Tr	a	n	tc [h]	h [mm]	ic [mm]	Q [mc/s]
<b>30 anni</b>	88.749	0.159	0.659	83.072	126.000	3.860
<b>200 anni</b>	125.485	0.147	0.659	118.030	179.022	5.485
<b>500 anni</b>	143.133	0.143	0.659	134.830	204.504	6.265

**Valori delle portate di piena con il metodo razionale del Bacino dell'Asta B.3**

### Metodo del Curve Number

Una metodologia per la stima delle precipitazioni efficaci che trova ampia applicazione è quella proposta dal Soil Conservation Service (1972). Il metodo, detto Metodo Curve Number ("Soil Conservation Service Runoff Curve Number (CN) method", detto comunemente Curve Number), si basa sulla assunzione che il volume specifico (altezza) di pioggia netta (efficace)  $P_{net}$  risulta legato al volume specifico (altezza) di pioggia lorda  $P$  (pioggia effettiva) caduta nel medesimo intervallo temporale dalla relazione:

$$P_{net} = \frac{(P - I_a)^2}{P - I_a + S}$$

nella quale  $S$  è il massimo volume specifico di acqua che il terreno può trattenere in condizione di saturazione ed  $I_a$  è la cosiddetta perdita iniziale, vale a dire quel valore limite di altezza di pioggia che il terreno può trattenere nella fase iniziale del fenomeno senza che si abbia creazione di deflusso; il parametro  $S$  corrisponde al volume idrico trattenuto dal terreno e dalla vegetazione, e quindi sottratto al deflusso superficiale dopo l'istante in cui si ha  $P > I_a$ ; fino all'istante in cui non si ha  $P > I_a$  il deflusso superficiale è da ritenersi praticamente assente.

In realtà con l'introduzione della perdita iniziale  $I_a$  si vuole tenere conto anche di quel complesso di fenomeni, quali l'intercettazione da parte della vegetazione e l'accumulo nelle depressioni superficiali del terreno, che ritardano il verificarsi del deflusso superficiale. In mancanza di adeguate osservazioni utili, per la stima di  $I_a$  si può fare ricorso alla seguente relazione:

$$I_a = 0,2 S$$

che risulta verificata in buona approssimazione.

La valutazione del valore di  $S$  può invece essere ricondotta a quella dell'indice CN (Curve Number), cui esso risulta legato dalla relazione:



$$S = S_0 \cdot \left( \frac{100}{CN} - 1 \right)$$

$S_0$  è un fattore di scala pari a 254 se la pioggia viene espressa in mm.

L'indice CN è un numero adimensionale, compreso fra 0 e 100, funzione della permeabilità della litologia superficiale, dell'uso del suolo e del grado di saturazione del terreno prima dell'evento meteorico.

Il Soil Conservation Service (SCS), sulla base della capacità di assorbimento del terreno nudo a seguito di prolungato adacquamento, ha classificato i vari tipi di suolo in quattro gruppi (A, B, C, D):

- GRUPPO A: Suoli aventi scarsa permeabilità di deflusso; capacità di infiltrazione in condizioni di saturazione molto elevata.
- GRUPPO B: Suoli aventi moderata potenzialità di deflusso; elevate capacità di infiltrazione anche in condizioni di saturazione.
- GRUPPO C: Suoli aventi potenzialità di deflusso moderatamente alta; scarsa capacità di infiltrazione e saturazione.
- GRUPPO D: Potenzialità di deflusso molto elevata; scarsissima capacità di infiltrazione e saturazione.

Per tali gruppi si riportano i valori del parametro CN corrispondenti a diverse tipologie di utilizzo del suolo.

Tipo di copertura	A	B	C	D
Aree agricole con presenza di spazi naturali	62	71	78	81
Aree Urbane	98	98	98	98
Area residenziale	77	85	90	92
Cava	60	60	60	60
Distretti industriali	81	88	91	93
Bacini di acqua	100	100	100	100
Culture erbacee da pieno campo a ciclo primaverile estivo	72	81	88	91
Culture orticole a ciclo estivo-autunnale/primaverile	72	81	88	91
Culture orticole a ciclo primaverile-estivo	72	81	88	91
Culture temporanee associate a colture permanente	62	71	78	81
Frutteti e frutti minori non irrigui	62	71	78	81
Frutteti e frutti minori irrigui	72	81	88	91
Oliveti irrigui	72	81	88	91
Oliveti non irrigui	62	71	78	81
Prati stabili non irrigui	30	58	71	78
Seminativi in aree non irrigue	62	71	78	81
Sistemi colturali e particellari complessi	72	81	88	91
Vigneti irrigui	72	81	88	91
Vigneti non irrigui	62	71	78	81
Zone boscate	45	66	77	83

**Valori del CN in funzione delle caratteristiche idrologiche dei suoli e di copertura vegetale.**



<b>Classe AMC</b>	<b>Precipitazioni nei dieci giorni precedenti (mm)</b>
<b>I</b> (Terreno secco)	0 < P < 50
<b>II</b> (Umidità media)	50 < P < 110
<b>III</b> (Terreno da mediamente umido a saturo)	P > 110

**Definizione delle condizioni di umidità antecedenti l'evento (AMC).**

I valori del CN riportati nella tabella 3 si riferiscono ad una condizione di umidità del suolo all'inizio dell'evento meteorico di tipo standard, precisamente quella intermedia indicata come AMC II (Antecedent Moisture Condition II).

Per condizioni iniziali differenti, vengono utilizzate delle relazioni di trasformazione del valore CN (II), relativo a AMC I, CN (I), ed in quello relativo a AMC III, CN (III).

$$CN_{III} = \frac{CN_{II}}{0.43 + 0.0057CN_{II}} \quad CN(III) = \frac{23CN(II)}{10 + 0,13CN(II)}$$

Nella fattispecie, considerata l'entità degli interventi e l'importanza degli stessi, **si è preferito, a vantaggio di sicurezza, adottare un valore di Curve Number pari al CN(III)**, in quanto trattasi di aree non completamente urbanizzate.

Nel caso in esame, quindi, sono stati sovrapposti i bacini idrografici sulla carta di uso del suolo e sulla carta geologica e ricavate le superfici specifiche in base alla qualità colturale e tipo di suolo.

Il valore del CN è stato stimato effettuando una media pesata dei valori corrispondenti alle differenti sub-aree isoparametriche caratterizzate da un determinato valore di uso del suolo e di tipo di suolo; i pesi sono stati calcolati in funzione delle aree delle singole parcelle sull'area totale del bacino individuato.

Per quanto riguarda la tipologia di terreno, è stato utilizzato, a vantaggio di sicurezza, il GRUPPO C (**Suoli aventi potenzialità di deflusso moderatamente alta; scarsa capacità di infiltrazione e saturazione**).

Nello studio presente sono stati ricavati i valori relativi al CN, riportati nella tabella seguente:



	CN <sub>II</sub>	CN <sub>III</sub>
<b>BACINI DI PROGETTO</b>	77.00	88.62

Tale procedimento ha reso possibile la stima dei due parametri  $S$  ed  $l_a$  a partire dalle caratteristiche litologiche e di uso del suolo del bacino e quindi la valutazione della pioggia netta.

Altro "tempo caratteristico" di un bacino è il "tempo di ritardo"  $t_L$  (lag time), generalmente definito come la distanza temporale tra il baricentro dell'idrogramma di piena superficiale, depurato cioè delle portate di base che sarebbero defluite nel corso d'acqua anche in assenza dell'evento di piena, e il baricentro del pluvigramma netto.

Il Soil Conservation Service (SCS) americano ha dedotto, empiricamente, che il rapporto  $t_L/t_c$  è pari a 0.6 (rapporto tra tempo di ritardo e tempo di corrivazione).

Per la stima del tempo di ritardo del bacino, nel caso in esame, si è utilizzata la formula di Mockus:

$$t_L = 0.342 \frac{L^{0.8}}{s^{0.5}} \left( \frac{1000}{CN} - 9 \right)^{0.7}$$

in cui  $s$  è la pendenza del bacino espressa in %,  $L$  la lunghezza dell'asta principale prolungata fino alla displuviale espressa in Km.

Per il calcolo della portata al colmo  $Q_p$  ( $m^3/s$ ) si considera un idrogramma approssimato di forma triangolare che ha una fase crescente di durata  $t_a$  (tempo di accumulo) e una fase di esaurimento di durata  $t_e$  (tempo di esaurimento) e il cui volume, espresso in  $m^3$ , ha la seguente espressione:

$$V = \frac{Q_P}{2} (t_a + t_e) = \frac{Q_P t_b}{2}$$

avendo indicato con  $t_b$  la durata dell'evento di piena.

Poiché è stato stabilito sperimentalmente che nella fase crescente dell'idrogramma defluisce un volume idrico che è pari al 37.5% del volume totale  $V$  di deflusso, ne consegue che la durata della fase crescente è pari a 0,375 volte la durata dell'evento di piena  $t_b$  e pertanto:

$$t_b = 2.67 t_a$$

Utilizzando le formule di cui sopra, esprimendo il volume di deflusso  $V$  in mm, il tempo  $t_a$  in ore, l'area  $A$  del bacino in  $Km^2$ , si ottiene:



$$Q_p = 0.208 \frac{VA}{t_a}$$

La determinazione di  $t_a$ , nell'ipotesi di precipitazione di intensità costante di durata  $t_p$  e indicando con  $t_L$  il tempo di ritardo, come prima calcolato, si effettua con la seguente relazione:

$$t_a = 0,5 t_p + t_L$$

È stato scelto come evento che massimizza il calcolo della portata di piena un tempo di pioggia pari al tempo di corrivazione del bacino, utilizzando come " $t_c$ " i risultati ottenuti in base al calcolo effettuato al paragrafo precedente (cioè tempo di corrivazione calcolato con il metodo Pezzoli, Chow, Watt & Chow, Kirpich P-C-W-K, in quanto tale relazione è quella che meglio si adatta alle dimensioni dei bacini oggetto del presente studio).

I risultati ottenuti sono riportati nella seguente tabella:

$T_R$	P [mm]	$P_{net}$	$T_L$ [h]	V [mm]	$t_a$ [h]	$Q_p$ [m <sup>3</sup> /s]
30 anni	82.461	53.116	5.549	53.116	8.958	79.001
200 anni	124.620	92.533	5.549	92.533	8.958	137.626
500 anni	144.982	112.054	5.549	112.054	8.958	166.661

**Valori delle portate di piena con il metodo Curve Number del Bacino dell'Asta A**

$T_R$	P [mm]	$P_{net}$	$T_L$ [h]	V [mm]	$t_a$ [h]	$Q_p$ [m <sup>3</sup> /s]
30 anni	52.481	26.876	0.431	26.876	0.867	4.683
200 anni	79.312	50.260	0.431	50.260	0.867	8.758
500 anni	92.271	62.114	0.431	62.114	0.867	10.823

**Valori delle portate di piena con il metodo Curve Number del Bacino dell'Asta A.1**

$T_R$	P [mm]	$P_{net}$	$T_L$ [h]	V [mm]	$t_a$ [h]	$Q_p$ [m <sup>3</sup> /s]
30 anni	58.372	31.823	1.219	31.823	1.932	7.964
200 anni	88.215	58.376	1.219	58.376	1.932	14.610
500 anni	102.628	71.748	1.219	71.748	1.932	17.956

**Valori delle portate di piena con il metodo Curve Number del Bacino dell'Asta A.2**

$T_R$	P [mm]	$P_{net}$	$T_L$ [h]	V [mm]	$t_a$ [h]	$Q_p$ [m <sup>3</sup> /s]
30 anni	80.649	51.470	4.753	51.470	7.832	65.961
200 anni	121.881	89.924	4.753	89.924	7.832	115.240
500 anni	141.795	108.986	4.753	108.986	7.832	139.668

**Valori delle portate di piena con il metodo Curve Number del Bacino dell'Asta A.3**

$T_R$	P [mm]	$P_{net}$	$T_L$ [h]	V [mm]	$t_a$ [h]	$Q_p$ [m <sup>3</sup> /s]
30 anni	54.544	28.593	0.529	28.593	1.051	6.699
200 anni	82.430	53.088	0.529	53.088	1.051	12.438
500 anni	95.899	65.474	0.529	65.474	1.051	15.340

**Valori delle portate di piena con il metodo Curve Number del Bacino dell'Asta B**

$T_R$	P [mm]	$P_{net}$	$T_L$ [h]	V [mm]	$t_a$ [h]	$Q_p$ [m <sup>3</sup> /s]
-------	--------	-----------	-----------	--------	-----------	---------------------------



<b>30 anni</b>	48.964	23.994	0.185	23.994	0.500	0.561
<b>200 anni</b>	73.997	45.481	0.185	45.481	0.500	1.063
<b>500 anni</b>	86.088	56.426	0.185	56.426	0.500	1.319

**Valori delle portate di piena con il metodo Curve Number del Bacino dell'Asta B.1**

<b>T<sub>R</sub></b>	<b>P [mm]</b>	<b>P<sub>net</sub></b>	<b>T<sub>L</sub> [h]</b>	<b>V [mm]</b>	<b>t<sub>a</sub> [h]</b>	<b>Q<sub>p</sub> [m<sup>3</sup>/s]</b>
<b>30 anni</b>	49.887	24.745	0.232	24.745	0.576	4.383
<b>200 anni</b>	75.391	46.729	0.232	46.729	0.576	8.278
<b>500 anni</b>	87.710	57.913	0.232	57.913	0.576	10.259

**Valori delle portate di piena con il metodo Curve Number del Bacino dell'Asta B.2**

<b>T<sub>R</sub></b>	<b>P [mm]</b>	<b>P<sub>net</sub></b>	<b>T<sub>L</sub> [h]</b>	<b>V [mm]</b>	<b>t<sub>a</sub> [h]</b>	<b>Q<sub>p</sub> [m<sup>3</sup>/s]</b>
<b>30 anni</b>	49.435	24.377	0.252	24.377	0.582	3.204
<b>200 anni</b>	74.709	46.118	0.252	46.118	0.582	6.062
<b>500 anni</b>	86.916	57.185	0.252	57.185	0.582	7.516

**Valori delle portate di piena con il metodo Curve Number del Bacino dell'Asta B.3**

## 5.2 Considerazioni finali sulla portata di piena

Il confronto tra le due metodologie adottate ha evidenziato come le portate derivate utilizzando il metodo Curve Number (CN), per i bacini idrografici di interesse siano risultate, al variare del tempo di ritorno, quasi sempre maggiori di quelle derivate dall'utilizzo del metodo Razionale.

Si è scelto, pertanto, di utilizzare i valori derivanti dalla metodologia che ha restituito i valori di portata maggiori, tra metodo Razionale e del CN, a vantaggio di sicurezza:

<b>Q (m<sup>3</sup>/sec)</b>	<b>Alta Pericolosità idraulica</b>	<b>Media Pericolosità idraulica</b>	<b>Bassa Pericolosità idraulica</b>
	<b>Tr= 30 anni</b>	<b>Tr= 200 anni</b>	<b>Tr= 500 anni</b>
<b>BACINO Asta A</b>	94.22	137.63	166.66
<b>BACINO Asta A.1</b>	6.03	8.76	10.82
<b>BACINO Asta A.2</b>	12.75	17.95	20.45
<b>BACINO Asta A.3</b>	77.33	115.24	139.67
<b>BACINO Asta B</b>	8.45	12.44	15.34
<b>BACINO Asta B.1</b>	0.61	1.06	1.32
<b>BACINO Asta B.2</b>	4.97	8.28	10.23
<b>BACINO Asta B.3</b>	3.86	6.06	7.52

## 6. MODELLAZIONE IDRAULICA

Il tracciamento dei profili di corrente è stato condotto utilizzando il codice di calcolo HEC-RAS versione 4.1.0, sviluppato dall'Hydrologic Engineering Center dell'U.S. Army Corps of Engineers.

HEC-RAS è l'abbreviazione di Hydrologic Engineering Center's River Analysis System. Questo software consente la simulazione di flussi idrici, nell'ipotesi di monodimensionalità della corrente, sia in moto permanente che in moto vario.

Il sistema comprende una interfaccia grafica, componenti separate per le analisi idrauliche dei due diversi tipi di moto, possibilità di analisi e memorizzazione dati, possibilità di esportazione e graficizzazione dei risultati.

Elemento chiave è che entrambi i tipi di simulazione citati usano una comune rappresentazione geometrica dei dati (l'alveo e le sue caratteristiche fisiche, geometriche ed idrauliche) e una comune routine di calcolo geometrico ed idraulico preliminare.

HEC-RAS è progettato per effettuare calcoli idraulici monodimensionali per una rete completa di canali naturali ed artificiali.

Nel caso di moto permanente, il software è in grado di modellare profili di correnti lente, veloci ed anche miste quando richiesto o ritenuto opportuno automaticamente dal programma.

Il calcolo è stato svolto in condizioni di moto permanente utilizzando valori delle portate di piena, riportati in precedenza, corrispondenti a tempi di ritorno pari a 30, 200 e 500 anni, come richiesto dall'Autorità di Bacino della Puglia per l'identificazione delle aree caratterizzate rispettivamente da alta (AP), media (MP) e bassa (BP) pericolosità idraulica.

### Scabrezza di manning

Le simulazioni sono state condotte utilizzando un valore del **coefficiente di scabrezza n secondo Manning che è pari a 0.033 sulle sponde dell'alveo e per il letto dell'alveo.**

### Condizioni al contorno e condizioni iniziali

Le condizioni al contorno si distinguono in condizioni al contorno di tipo esterno e condizioni al contorno di tipo interno, ove per condizioni esterne si intendono le altezze idriche da assegnare nella sezione di calcolo posta a valle e in tutte le sezioni iniziali poste a monte del reticolo idrografico, mentre per condizioni interne sono intese quelle relative alle sezioni di confluenza di due o più rami dello stesso reticolo.

**Per le sezioni di monte e di valle dei tratti studiati si è fissata l'altezza di moto uniforme.**

### Sezioni di calcolo e profilo longitudinale



La realizzazione dei modelli degli affluenti in esame è stata effettuata avendo come base cartografica il **DTM della Regione Puglia**.

Sulla base delle informazioni piano altimetriche disponibili è stato ricavato un **modello geometrico**, come base di input per il software HEC-RAS, costituito dagli alvei interferenti con il perimetro d'impianto, formati da un numero variabile di sezioni numerate progressivamente da monte verso valle.

Definito il **modello geometrico dello stato di fatto**, si è provveduto ad effettuare l'ipotesi di calcolo.

### **Risultati delle simulazioni**

Nel seguito, si riportano e si commentano i risultati dello studio idraulico, effettuato in condizioni di moto permanente, in riferimento all'asta modellata.

In particolare, sono riportati i risultati delle simulazioni effettuate, in condizioni di moto permanente in corrispondenza di portate di piena caratterizzate dal tempo di ritorno di 200 anni.

Tali verifiche hanno consentito, grazie all'ausilio del software HEC-RAS, di definire le caratteristiche proprie del deflusso e, in particolare, il massimo livello idrico raggiunto in ogni sezione, oltre che la pendenza della linea dell'energia, la velocità media della corrente, la larghezza del pelo libero, il numero di Froude della corrente, ecc..

Tutte queste informazioni sono indicate sotto forma numerica nelle tabelle riassuntive seguenti, nelle quali, al variare del tempo di ritorno e per ognuna delle sezioni, sono riportati i **dati relativi ai principali parametri idraulici desunti dal calcolo al passaggio dell'onda di piena**.

Le sigle riportate sono relative a:

- a) **Q total** = Portata totale espressa in  $m^3/s$ ;
- b) **Min Ch El** = Quote del fondo dell'alveo;
- c) **W.S. Elev** = Quota del pelo libero;
- d) **Crit W.S.** = Quota critica del pelo libero;
- e) **E.G. Elev** = Quota della linea dell'energia;
- f) **E.G. Slope** = Pendenza della linea dell'energia;
- g) **Vel Chnl** = Velocità media della corrente nell'alveo;
- h) **Flow area** = Area totale della sezione liquida effettiva;
- i) **Top Width** = Larghezza superficiale della sezione liquida;
- j) **Froude** = Numero di Froude dell'alveo.

I risultati ottenuti sono riportati nelle tabelle seguenti (cfr. tabelle seguenti).



River	Reach	River Sta	Profile	Q Total (m3/s)	Min Ch El (m)	W.S. Elev (m)	Crit W.S. (m)	E.G. Elev (m)	E.G. Slope (m/m)	Vel Chnl (m/s)	Flow Area (m2)	Top Width (m)	Froude # Ch
Asta B.3	Asta B.3	6	Tr=200 anni	6.06	268.00	268.12	268.11	268.17	0.016161	0.91	6.64	57.51	0.86
Asta B.3	Asta B.3	5.*	Tr=200 anni	6.06	267.00	267.21	267.15	267.24	0.005976	0.74	8.21	46.43	0.56
Asta B.3	Asta B.3	4	Tr=200 anni	6.06	266.00	266.20	266.19	266.27	0.017970	1.18	5.13	32.76	0.95
Asta B.3	Asta B.3	3	Tr=200 anni	6.06	265.00	265.16	265.12	265.19	0.007092	0.71	8.59	59.07	0.59
Asta B.3	Asta B.3	2	Tr=200 anni	6.06	264.00	264.08	264.07	264.11	0.018412	0.75	8.10	104.46	0.86
Asta B.3	Asta B.3	1	Tr=200 anni	6.06	262.00	262.14	262.13	262.19	0.020007	1.02	5.92	50.77	0.96
Asta B.2	Asta B.2	3	Tr=200 anni	8.28	265.00	265.14	265.13	265.19	0.016431	1.00	8.30	63.72	0.88
Asta B.2	Asta B.2	2	Tr=200 anni	8.28	263.00	263.37	263.37	263.50	0.017152	1.59	5.19	20.37	1.01
Asta B.2	Asta B.2	1	Tr=200 anni	8.28	261.00	261.45	261.48	261.63	0.020658	1.85	4.48	16.17	1.12
Asta B.1	Asta B.1	2	Tr=200 anni	1.06	261.00	261.15	261.11	261.17	0.009948	0.71	1.49	13.02	0.67
Asta B.1	Asta B.1	1	Tr=200 anni	1.06	260.00	260.14	260.11	260.17	0.010005	0.71	1.49	13.01	0.67
Asta B	Asta B	7	Tr=200 anni	12.44	261.00	261.62	261.54	261.72	0.008338	1.39	8.93	24.94	0.74
Asta B	Asta B	6	Tr=200 anni	12.44	260.50	260.63	260.61	260.67	0.013018	0.87	14.23	111.88	0.78
Asta B	Asta B	5.*	Tr=200 anni	12.44	259.75	260.00	259.90	260.02	0.003826	0.70	17.68	76.84	0.47
Asta B	Asta B	4	Tr=200 anni	12.44	259.00	259.26	259.24	259.36	0.013946	1.37	9.10	38.51	0.90
Asta B	Asta B	3	Tr=200 anni	12.44	258.00	258.50		258.57	0.004982	1.14	10.91	27.98	0.58
Asta B	Asta B	2	Tr=200 anni	12.44	257.50	257.81	257.76	257.89	0.009845	1.26	9.87	36.37	0.77
Asta B	Asta B	1	Tr=200 anni	12.44	257.00	257.16	257.10	257.18	0.005003	0.63	19.63	122.03	0.50
Asta A.3	Asta A.3	4	Tr=200 anni	115.24	262.00	262.61	262.46	262.73	0.005186	1.55	75.86	136.06	0.64
Asta A.3	Asta A.3	3	Tr=200 anni	115.24	261.00	262.05	261.81	262.24	0.004470	1.93	60.35	74.27	0.64
Asta A.3	Asta A.3	2	Tr=200 anni	115.24	260.16	261.41	261.41	261.63	0.008859	2.57	62.10	131.74	0.89
Asta A.3	Asta A.3	1	Tr=200 anni	115.24	260.00	260.92	260.51	260.98	0.001601	1.11	107.70	137.75	0.38
Asta A.2	Asta A.2	8	Tr=200 anni	17.95	265.00	265.61	265.47	265.71	0.005901	1.41	12.73	26.96	0.65
Asta A.2	Asta A.2	7	Tr=200 anni	17.95	264.50	264.79	264.76	264.88	0.012214	1.35	13.26	51.56	0.85
Asta A.2	Asta A.2	6	Tr=200 anni	17.95	263.00	263.33	263.33	263.46	0.016733	1.62	11.08	41.72	1.00
Asta A.2	Asta A.2	5	Tr=200 anni	17.95	261.50	262.00		262.15	0.010596	1.70	10.58	26.34	0.85
Asta A.2	Asta A.2	4	Tr=200 anni	17.95	261.00	261.50		261.56	0.003470	1.03	17.43	39.75	0.50
Asta A.2	Asta A.2	3	Tr=200 anni	17.95	260.50	260.99	260.88	261.08	0.006727	1.36	13.17	32.37	0.68
Asta A.2	Asta A.2	2	Tr=200 anni	17.95	260.00	260.20		260.25	0.010080	1.00	17.95	95.94	0.74
Asta A.2	Asta A.2	1	Tr=200 anni	17.95	259.00	259.20	259.16	259.25	0.010004	0.98	18.25	98.73	0.73
Asta A.1	Asta A.1	11	Tr=200 anni	8.76	266.00	266.20	266.17	266.25	0.012489	1.03	8.54	51.24	0.80
Asta A.1	Asta A.1	10.*	Tr=200 anni	8.76	264.68	264.94	264.91	265.01	0.012273	1.19	7.34	34.61	0.83
Asta A.1	Asta A.1	9.*	Tr=200 anni	8.76	263.35	263.73	263.70	263.83	0.011209	1.38	6.34	22.41	0.83
Asta A.1	Asta A.1	8	Tr=200 anni	8.76	262.03	262.83	262.76	262.90	0.007721	1.16	7.55	26.16	0.69
Asta A.1	Asta A.1	7	Tr=200 anni	8.76	261.50	261.60	261.60	261.65	0.023375	0.98	8.91	91.18	1.00
Asta A.1	Asta A.1	6	Tr=200 anni	8.76	260.00	260.32	260.17	260.34	0.002484	0.67	13.07	44.15	0.39
Asta A.1	Asta A.1	5	Tr=200 anni	8.76	259.34	259.89	259.78	259.96	0.006603	1.11	7.89	26.07	0.64
Asta A.1	Asta A.1	4	Tr=200 anni	8.76	259.00	259.17	259.13	259.21	0.008393	0.81	10.77	67.84	0.65
Asta A.1	Asta A.1	3.*	Tr=200 anni	8.76	258.00	258.20	258.16	258.25	0.011080	0.95	9.18	56.10	0.75
Asta A.1	Asta A.1	2.*	Tr=200 anni	8.76	257.00	257.27	257.21	257.32	0.007868	1.00	8.79	38.88	0.67
Asta A.1	Asta A.1	1	Tr=200 anni	8.76	256.00	256.35	256.30	256.43	0.010001	1.27	6.87	25.15	0.78
Asta A	Asta A	15	Tr=200 anni	137.63	261.00	261.61	261.91	262.58	0.050034	4.37	31.50	60.84	1.94
Asta A	Asta A	14	Tr=200 anni	137.63	260.50	261.77	261.55	261.99	0.004529	2.09	70.47	102.76	0.65
Asta A	Asta A	13	Tr=200 anni	137.63	260.00	260.91	260.91	261.28	0.011740	2.72	50.62	67.12	1.00
Asta A	Asta A	12	Tr=200 anni	137.63	259.50	260.48	260.15	260.60	0.003104	1.54	90.00	119.54	0.53
Asta A	Asta A	11.*	Tr=200 anni	137.63	259.30	260.36	259.80	260.41	0.001045	0.94	150.44	210.25	0.31
Asta A	Asta A	10	Tr=200 anni	137.63	259.20	260.30		260.33	0.000533	0.68	208.31	295.78	0.22
Asta A	Asta A	9	Tr=200 anni	137.63	259.10	260.27		260.28	0.000328	0.56	255.36	326.76	0.18
Asta A	Asta A	8	Tr=200 anni	137.63	259.00	260.17	259.60	260.23	0.001104	1.08	136.37	165.02	0.33
Asta A	Asta A	7	Tr=200 anni	137.63	258.50	259.68	259.68	259.97	0.007960	2.42	63.10	121.79	0.84
Asta A	Asta A	6	Tr=200 anni	137.63	258.00	258.94	258.41	258.97	0.000862	0.82	167.97	189.96	0.28
Asta A	Asta A	5.*	Tr=200 anni	137.63	257.50	258.85		258.89	0.000795	0.92	160.11	186.98	0.28
Asta A	Asta A	4	Tr=200 anni	137.63	257.00	258.44	258.44	258.68	0.008946	2.53	68.97	134.82	0.89
Asta A	Asta A	3	Tr=200 anni	137.63	256.60	258.03	257.72	258.10	0.001451	1.32	132.54	196.69	0.38
Asta A	Asta A	2	Tr=200 anni	137.63	256.30	257.76	257.59	257.89	0.002988	1.82	95.76	144.70	0.54
Asta A	Asta A	1	Tr=200 anni	137.63	256.00	257.20	257.20	257.45	0.006858	2.46	71.75	143.68	0.80

Figura 14 – Parametri idraulici del calcolo in moto permanente

Si specifica che le sezioni sono numerate in modo decrescente da monte verso valle, mentre le distanze progressive in modo crescente da valle verso monte.



Nelle figure seguenti (cfr. figure seguenti) sono riportati la planimetria con le sezioni trasversali, il profilo longitudinale al passaggio dell'onda di piena due centennale.

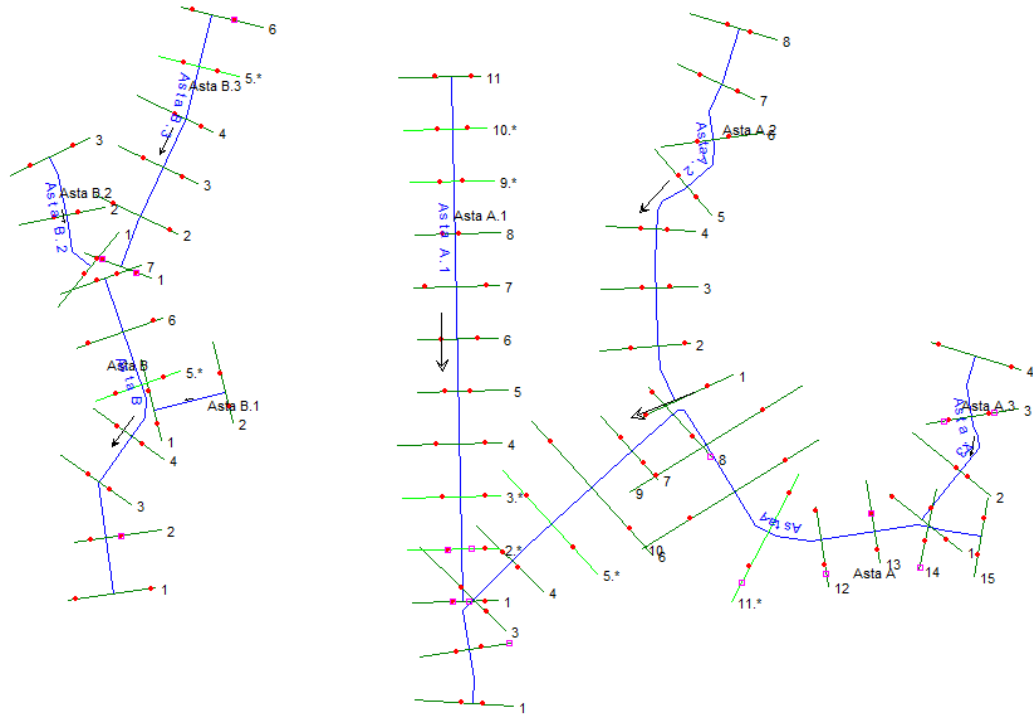


Figura 15 – Planimetria con indicazione delle sezioni su Hec-Ras.

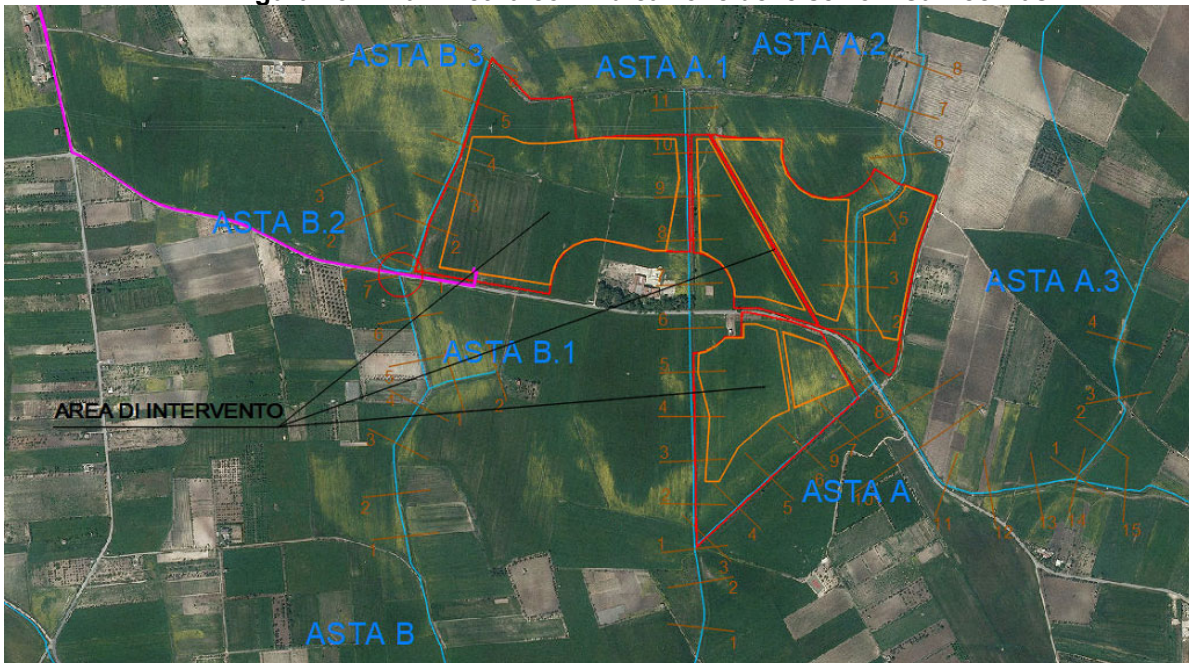
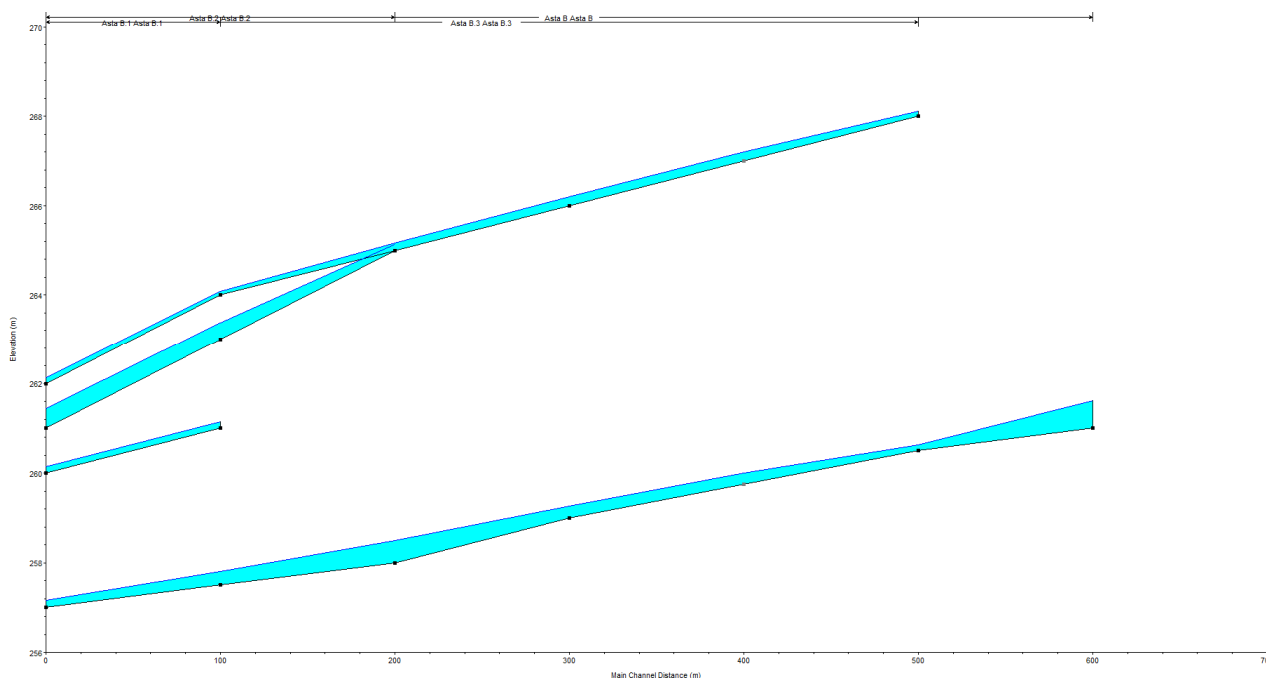
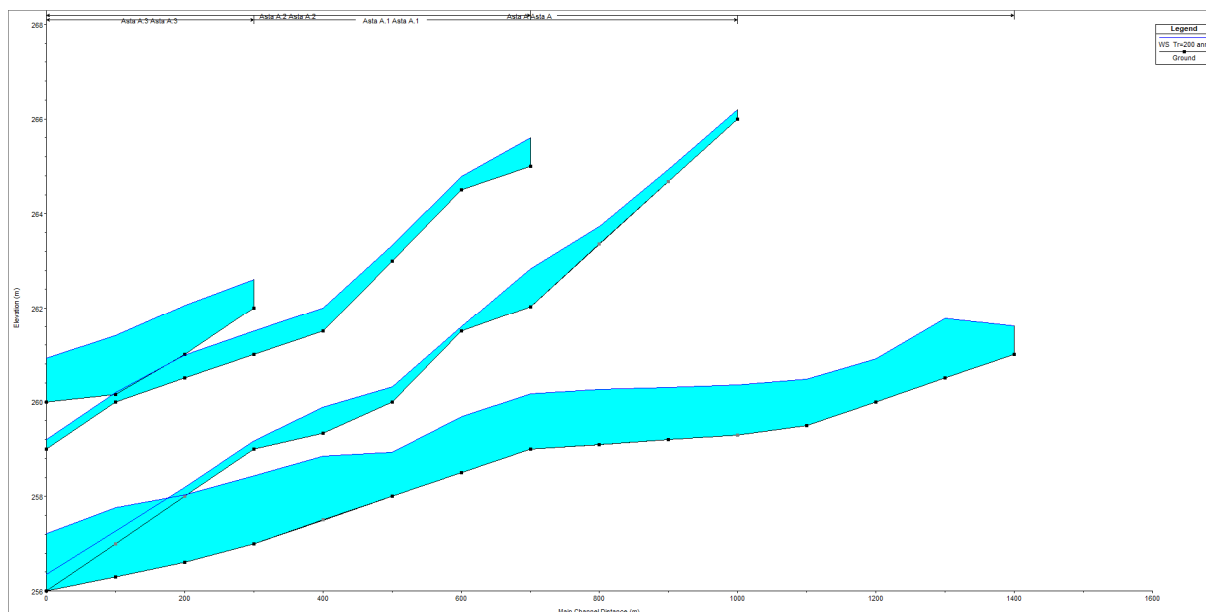


Figura 16 – Planimetria con indicazione delle sezioni su dwg base ortofoto.



**Figura 17 - Profili longitudinale di moto permanente (Aste A e B con relativi affluenti studiati)**  
(è rappresentato graficamente il livello idrico corrispondente alla piena con  $Tr=200$  anni)

Osservando gli output di HEC-RAS si evince come **il corso d'acqua in esame sia sufficiente a contenere la portata di piena bi-centenaria, quasi sempre contenuta in alveo o nelle sue aree golenali.**

**Tuttavia, data l'estrema vicinanza del corso d'acqua all'area perimetrata in arancio in cui verrà realizzato l'impianto da fonti rinnovabili, risulta inevitabile che essa si venga a trovare**



**nelle immediate vicinanze delle aree inondabili; pertanto, al fine di garantire la sicurezza dell'area, in caso di inondazione di piena, le opere di progetto verranno posizionate in modo da tale da escludere l'area perimetrata con il presente studio.**

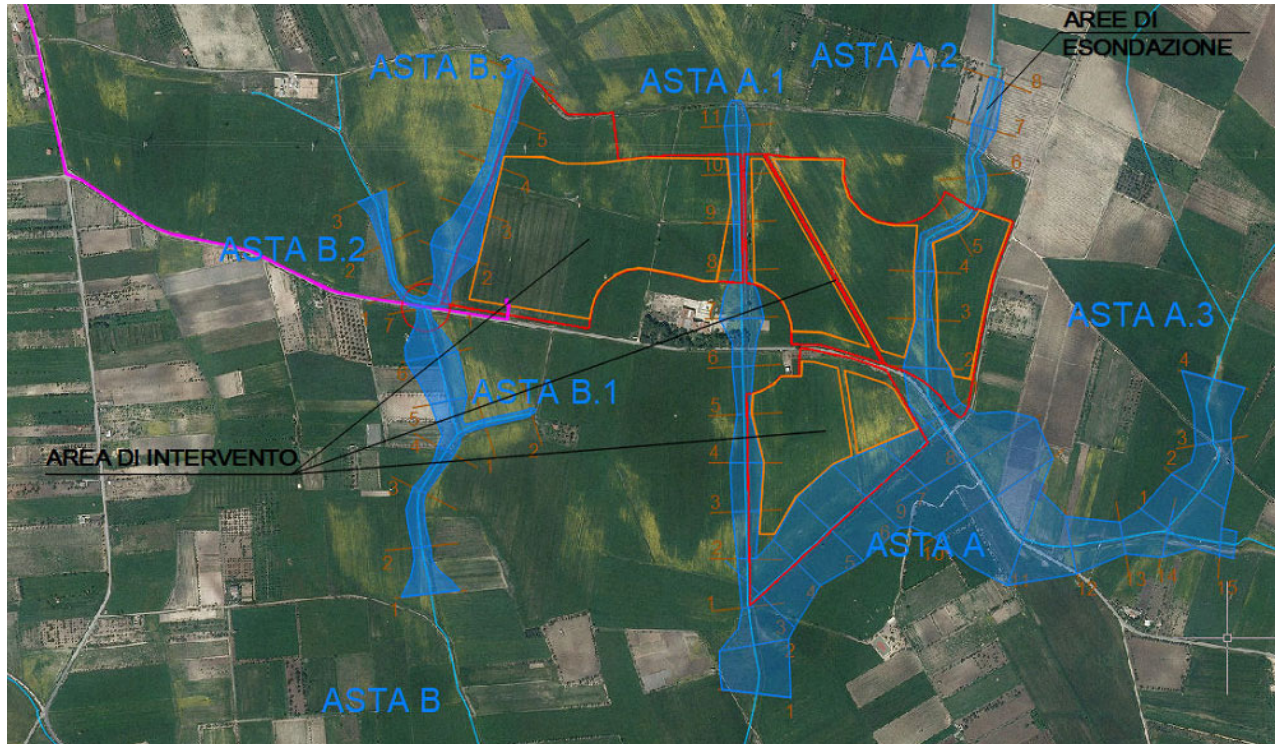


Figura 18 – Planimetria con indicazione delle aree inondabili duecentennali.

Tale risultato è possibile desumerlo anche dalla consultazione delle sezioni trasversali, dalle quali sono evidenti i livelli idrici di piena per ogni sezione (cfr. Quaderno delle sezioni in allegato).

## 7. CONCLUSIONI

Il presente Studio è stato redatto al fine di valutare la compatibilità idrologica ed idraulica relativa al progetto per **la realizzazione di un impianto da fonti rinnovabili**, da ubicare nel territorio del comune di **Mottola (TA)**.

Conseguentemente al transito della portata al colmo di piena, per assegnato tempo di ritorno  $T_r = 200$  anni (sussistenza della sicurezza idraulica), valutata nell'analisi idrologica secondo il modello discendente dall'analisi regionale delle piogge, proprio del progetto VaPi sulla Valutazione delle Piene in Puglia, si è **evidenziato il rispetto della sicurezza idraulica dell'area e delle opere di progetto a farsi**.

**Ad ulteriore garanzia di sicurezza il cavidotto di collegamento, interferente con il reticolo idrografico, verrà interrato fino ad una profondità minima di 1,5 metri dal piano campagna e realizzato con tecnica di Trivellazione Orizzontale Controllata (TOC).**

L'opera in progetto risulta, pertanto, compatibile con le finalità del Piano di Assetto Idraulico, garantendo altresì la sicurezza idraulica dell'area.



## **ALLEGATI**

ALL 01 Inquadramento dei Bacini Idrografici su IGM 1:25.000

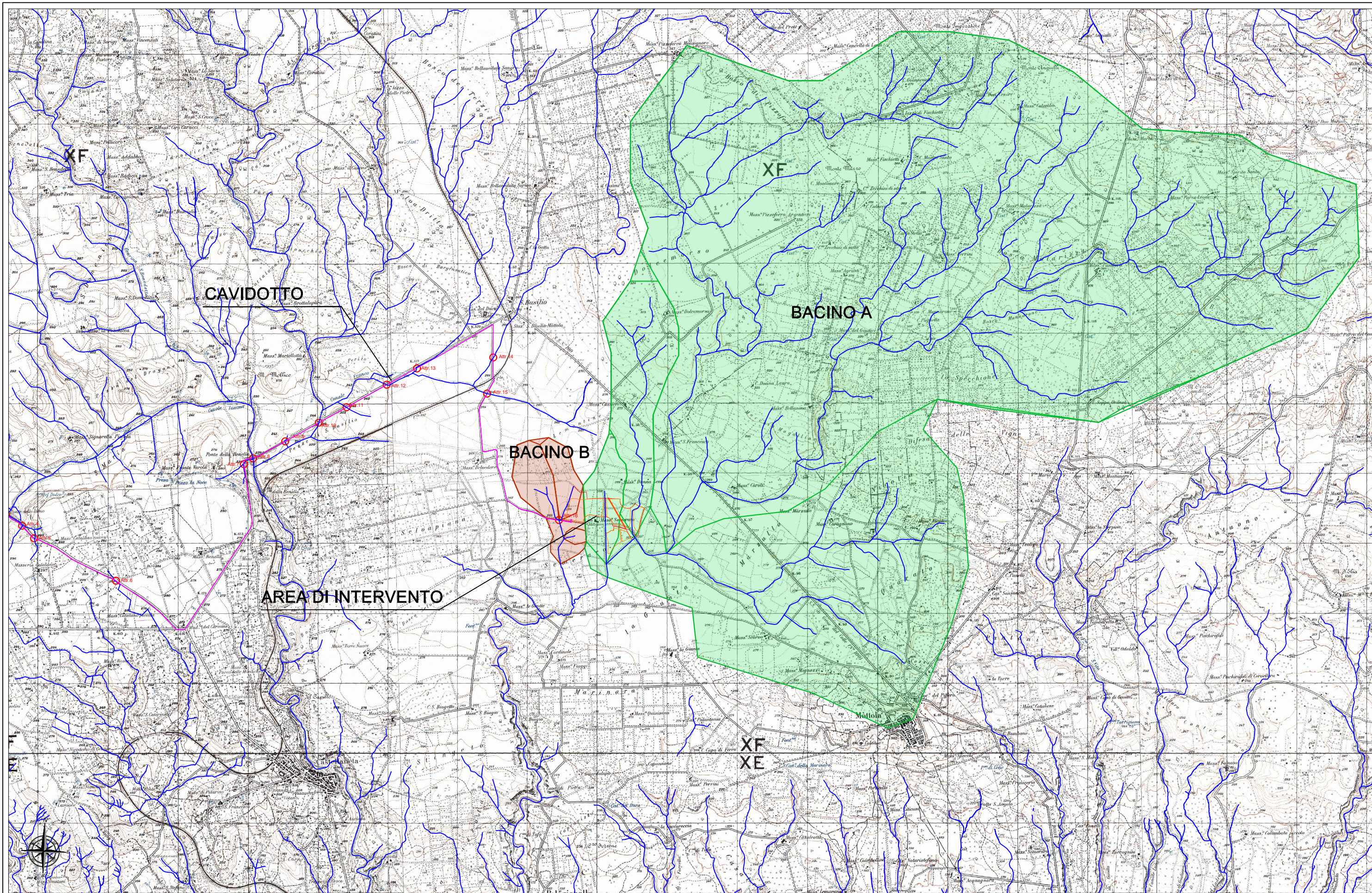
ALL 02 Inquadramento dei Bacini Idrografici su Ortofoto

ALL 03 Planimetria con indicazione delle aree inondabili duecentennali

ALL 04 Individuazione intersezioni cavidotto con reticolo idrografico

Quaderno delle sezioni

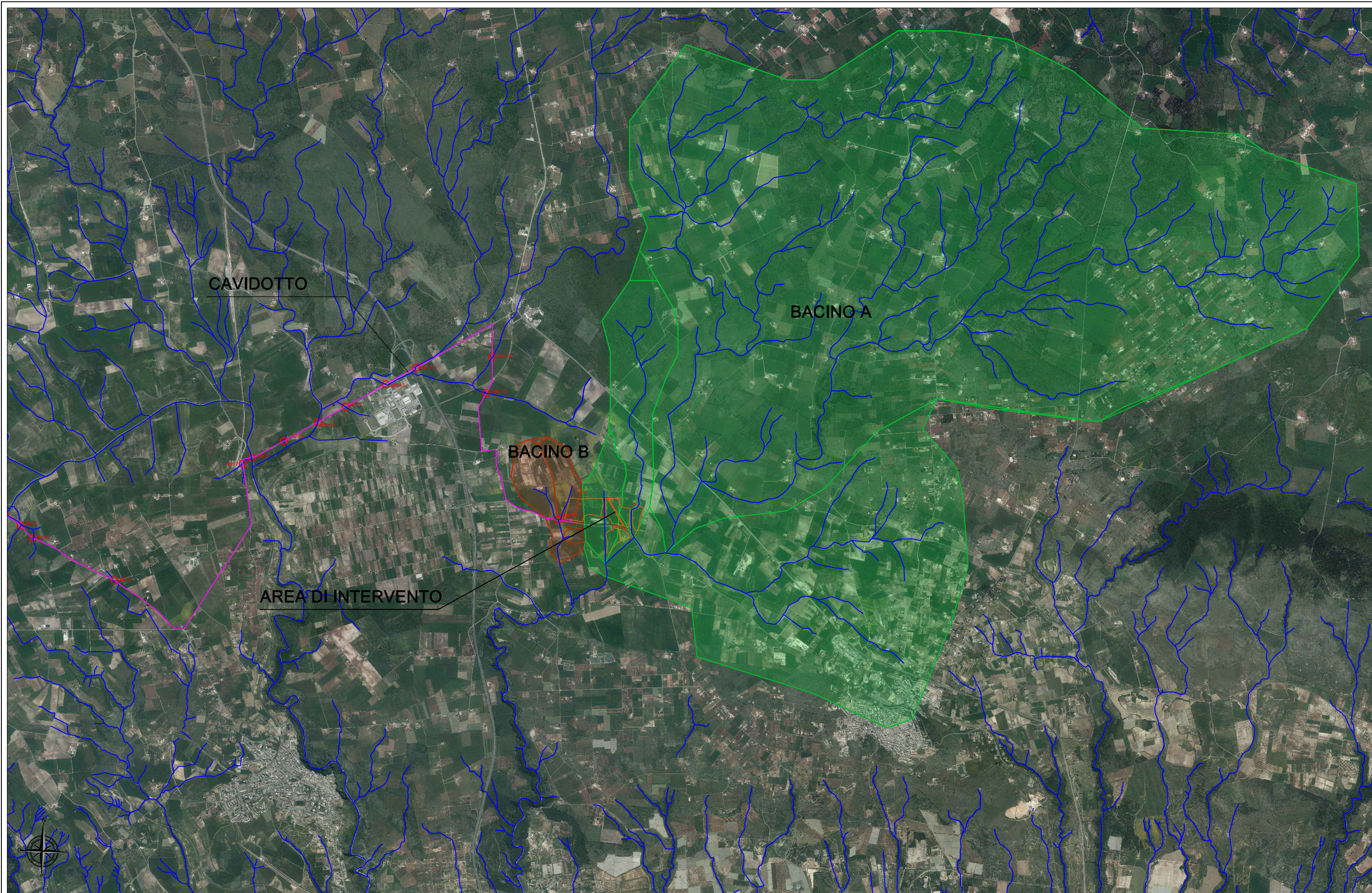




PROGETTO PER LA REALIZZAZIONE DI UN IMPIANTO DA ENERGIA RINNOVABILE  
NEL COMUNE DI MOTTOLA ( TA)

STUDIO DI COMPATIBILITA' IDROLOGICA IDRAULICA  
Inquadramento dei bacini idrografici su IGM 1:25.000  
SCALA 1:50.000

ALL 01



PROGETTO PER LA REALIZZAZIONE DI UN IMPIANTO DA ENERGIA RINNOVABILE  
NEL COMUNE DI MOTTOLA (TA)

STUDIO DI COMPATIBILITA' IDROLOGICA IDRAULICA  
Inquadramento dei bacini idrografici su Ortofoto  
SCALA 1:50.000

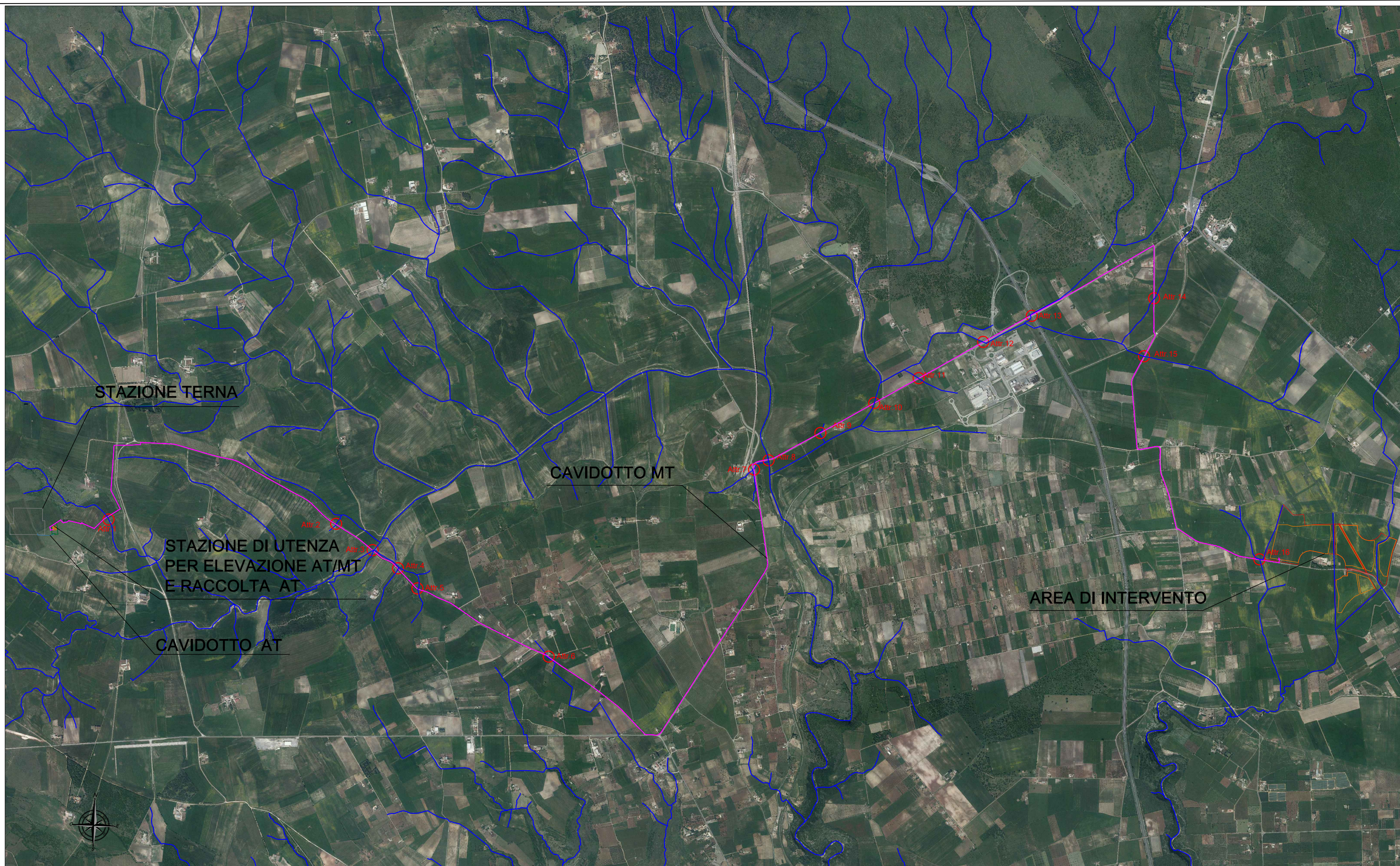
ALL 02



PROGETTO PER LA REALIZZAZIONE DI UN IMPIANTO DA ENERGIA RINNOVABILE  
NEL COMUNE DI MOTTOLA (TA)

STUDIO DI COMPATIBILITA' IDROLOGICA IDRAULICA  
Planimetria con indicazione delle aree inondabili duecentennali  
SCALA 1:10.000

ALL 03



PROGETTO PER LA REALIZZAZIONE DI UN IMPIANTO DA ENERGIA RINNOVABILE  
NEL COMUNE DI MOTTOLA (TA)

STUDIO DI COMPATIBILITA' IDROLOGICA IDRAULICA  
Individuazione intersezioni cavidotto con reticolo idrografico  
SCALA 1:30.000

ALL 04



